



کانی‌شناسی، ژئوشیمی و تغییرات جرم ناشی از دگرسانی سنگ‌های آتشفسانی منطقه‌ی خوش‌بیلاق، شرق استان گلستان

شهروز بابازاده^۱، سید احمد مظاہری^{*}، مصطفی رقیمی^۲، عزیز رحیمی چاکدل^۳

۱- گروه زمین‌شناسی، دانشکده علوم، دانشگاه فردوسی مشهد

۲- گروه زمین‌شناسی، دانشکده علوم، دانشگاه گلستان

(دریافت مقاله: ۹۱/۳/۳۰، نسخه نهایی: ۹۱/۶/۱۳)

چکیده: سنگ‌های آتشفسانی خوش‌بیلاق به سن سیلورین بالایی، در شرق استان گلستان و در منطقه‌ی ساختاری البرز شرقی واقع شده‌اند. این توده آتشفسانی به طور مشخص تحت تاثیر گرمایی‌های دگرسان شده و دگرسانی پروپلیتی، یکی از دگرسانی‌های گسترش یافته در این منطقه است که بر پایه بررسی‌های صحرایی و پراش پرتو ایکس، چهار منطقه‌ی دگرسان کلریتی، اپیدوتی، آلبیتی و هماتیتی قابل تشخیص‌اند. نتایج ریز پردازشی نشان می‌دهد که کلریت‌های منطقه از نوع پنیتیت، تالک کلریت و دیابانیت بوده و نشان دهنده‌ی این است که این کانی در گستره‌ی دماهی ۱۸۰ تا ۲۵۰ درجه‌ی سانتی‌گراد تشکیل شده است. میانگین پیستاستیت در اپیدوت‌های مورد بررسی ۳۱/۱۵ است و نشان می‌دهد که از نوع ماغماهی بوده و بر این اساس اپیدوت‌ها از سوسوریتی شدن پلازیوکلازها تشکیل شده‌اند. بررسی دیاگرام‌های ایزوکان نشان‌دهنده تحرك بالای برخی از عناصر غیرمتحرك در طی دگرسانی است، به طوری که در زون دگرسانی آلبیتی با میانگین شیب ایزوکان ۱۰/۶ و ۱۰/۹ بیشترین و در زون دگرسانی کلریتی با میانگین شیب ۱ و ۱۰/۳ کمترین تغییرات جرم را طی دگرسانی شاهدیم. همچنین بر پایه‌ی این نمودار، SiO_2 و P_2O_5 در تمامی زون‌های دگرسانی تهی شدگی و I. O. L.O. Fe_2O_3 غنی شدگی از خود نشان می‌دهند. بر پایه‌ی محاسبات شاخص شیمیایی دگرسانی، زون اپیدوتی بین ۴۶/۳۰٪ تا ۴۶/۳۱٪، زون آلبیتی بین ۴۷/۸۶٪ تا ۴۷/۴۹٪، زون کلریتی بین ۴۶/۵۰٪ تا ۴۷/۳۳٪ و زون هماتیتی بین ۵۹/۷٪ تا ۷۱/۴۵٪ دستخوش دگرسانی شده‌اند.

واژه‌های کلیدی: خوش‌بیلاق، سنگ‌های آتشفسانی، دگرسان پروپلیتی، پیستاستیت، دیاگرام ایزوکان، شاخص شیمیایی دگرسانی.

درصد کانی‌های سنگ دگرسان شده نسبت به سنگ سالم و بر اساس فرمول ساختاری هر کانی و نیز برپایه چگالی و نیز مقایسه‌ی عناصر قبل و بعد از دگرسانی تعیین کرده‌اند [۱، ۲]. در پژوهش‌های اخیر، روش ایزوکان که روشی ساده و موثر کمی برای تعیین تغییرات جرمی و یا حجمی مواد بر اساس ترسیم ترکیب دگرسان شده نسبت به ترکیب اولیه است استفاده شد [۳، ۴]. در این پژوهش سعی شد تا بر پایه‌ی

مقدمه

به طور کلی، در اثر فرآیندهای دگرسانی، در نوع و میزان عناصر موجود در سنگ مادر تغییراتی به وجود می‌آید که به کمک آن می‌توان قلمروی ژئوشیمیایی مجموعه سنگ‌های دگرسان شده و سالم را از هم تفکیک کرد. تاکنون روش‌های مختلفی بدین منظور راهه شده‌اند. محققین زیادی میزان کاهش یا افزایش جرم را طی دگرسانی از طریق مقایسه میزان کاهش یا افزایش

ریز پردازندهی پرتو ایکس Horiba-XGT-XPMA، دستگاه 7200 با ولتاژ شتابدهندهی 50kV و جریان 1mA برای تشخیص ترکیب پلازیوکلазها، تعیین پیستاسیت کانی‌های اپیدوت و نیز دماسنجه کانی‌های کلریت صورت گرفت که نتایج ارائه شده‌اند. تمامی آنالیزهای ژئوشیمیایی در آزمایشگاه ژئوشیمیایی کانساران بینالود تهران انجام گرفتند.

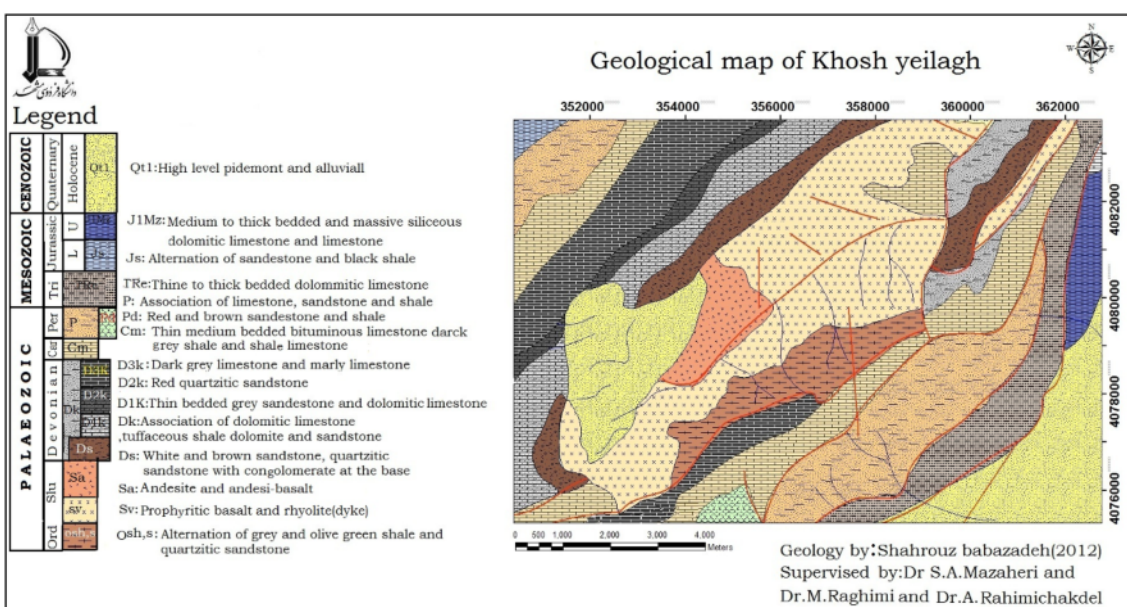
زمین‌شناسی منطقه‌ی مورد بررسی

سنگ‌های آتشفشاری منطقه خوش‌بیلاق بیشتر شامل بازالت، تراکی بازالت، آندزی بازالت، آندزیت و سیل‌هایی از دریت هستند، که یکی از دنباله‌های سیلورین-دونین ایرانند؛ به عنوان بخشی از سازند سلطان میدان در زون ساختاری البرز شرقی و در شرق استان گلستان و در موقعیت جغرافیایی $55^{\circ}21'47''E$ و $36^{\circ}50'25''N$ تا $55^{\circ}22'40''E$ و $36^{\circ}52'00''N$ در بین دو روستای خوش‌بیلاق و تیل آباد واقع شده‌اند (شکل ۱). این مجموعه در پالئوزوئیک زیرین (واخر سیلورین) و در آغاز فعالیت پالئوتیس فوران کرده است. سن این مجموعه همواره مورد بحث بسیاری از زمین‌شناسان بوده است. بررسی‌های اخیر حاکی از این است که سن بخش مورد بررسی نمی‌تواند جوانتر از گورستین باشد. این پژوهشگران معتقدند که سن اورانیوم-سرب حاصل از زیرکن‌های به دست آمده از سنگ‌های منطقه 434 ± 46 میلیون سال است که با سن پالینولوژی آن همخوانی دارد [۵].

بررسی‌های صحرایی، سنگنگاری و تحلیل داده‌های ژئوشیمیایی، ضمن شناسایی زون‌های مختلف در منطقه و مقایسه تغییرات جرم عناصر در این زون‌های دگرسان شده منطقه، ماهیت سیالات دگرسان کننده و نیز دمای این سیال‌ها در سنگ‌های منطقه مورد بررسی قرار گیرد.

روش بررسی

در این پژوهش، به‌منظور کانی‌شناسی زون‌های دگرسان، نخست تعداد ۱۲۰ نمونه کمتر دگرسان شده تا به شدت دگرسان شده با میکروسکوپ Olympus-BX50 و در ادامه به منظور کانی‌شناسی زون‌های دگرسان، ۵ نمونه از نمونه‌های دگرسان شده شدید، و نیز ۴ نمونه از سنگ‌های با بافت بادامی که دارای رگچه‌هایی از کانی‌های ثانویه نیز بوده‌اند برای تشخیص نوع کانی‌های ثانویه پرکنده این حفره‌های با پراش سنج پرتوی X (دستگاه Philips-PW1800) مورد بررسی قرار گرفتند. به‌منظور بررسی ویژگی‌های ژئوشیمیایی زون‌های دگرسان شده و نیز بررسی تغییرات جرم ناشی از دگرسانی گرماب حاکم بر منطقه، تعداد ۱۶ نمونه از سنگ‌های بازالتی و آندزیتی با کمترین دگرسانی و ۸ نمونه از سنگ‌های به شدت دگرسان شده) بین نمونه‌های برداشت شده، انتخاب شدند و به روش شیمی مرطوب و XRF به وسیله‌ی دستگاه Philips-PW1480 آنالیز شدند و ۳۳ فاکتور شیمیایی آن مورد اندازه‌گیری قرار گرفتند. آنالیز کمی نقطه‌ای کانی‌ها نیز با

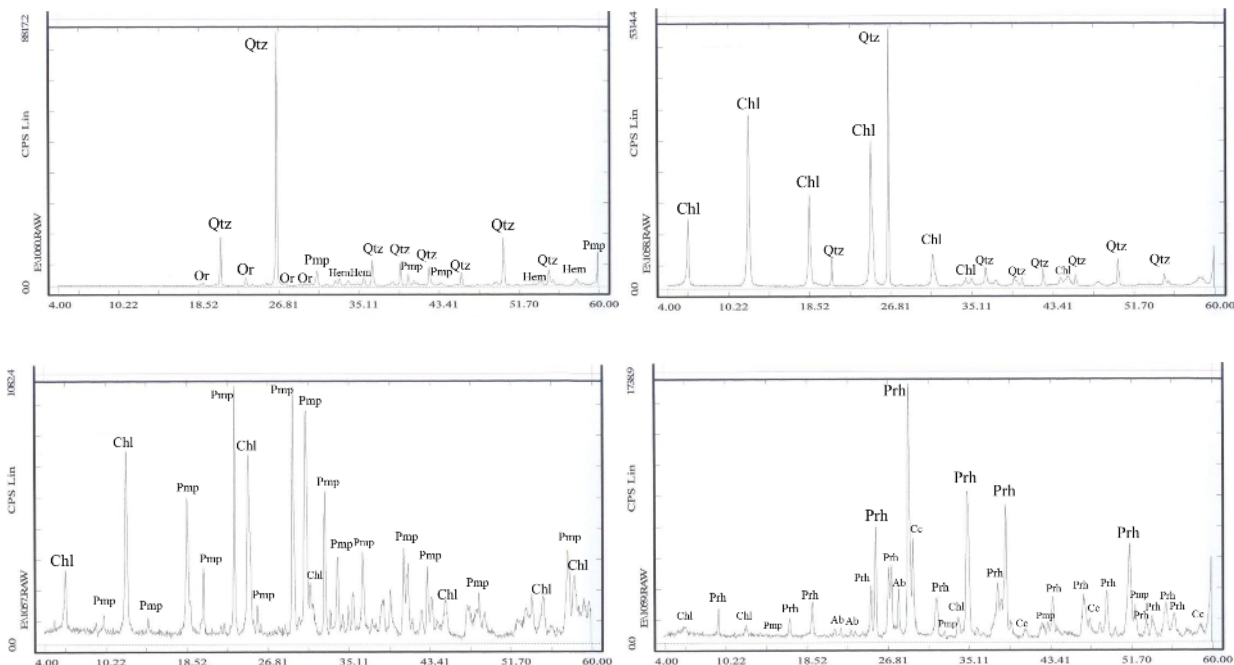


شکل ۱ موقعیت زمین‌شناسی و ساختاری منطقه‌ی مورد بررسی [۶].

کلریت، کلسیت، اپیدوت، پرهینیت و پامپلی ایت که حاصل ته-
نشینی گرمابیهای است، پرشده‌اند. این حفره‌ها و رگه‌ها در تمامی
انواع سنگ‌های منطقه رخمنون یافته‌اند و به‌طور کلی شواهد
بسیار خوبی برای تشخیص مراحل مختلف دگرسانی‌های حاکم
بر منطقه‌اند در حالی‌که، دگرسانی فرآگیر به وسیله کلریتی
شدن کانی‌های مافیک (پیروکسن و الیوین)، ایدنگسیتی شدن
برخی از بلورهای الیوین، آلبیتی شدن برخی از بلورهای
پلاژیوکلاز و نیز جانشینی برخی از بلورهای پلاژیوکلاز با
اپیدوت و پرهینیت، در منطقه مشخص می‌شود. سنگ‌های
منطقه به‌طور گستردۀ و نایکنواخت تحت تاثیر دگرسانی
پروپلتی قرار گرفته‌اند. این در حالیست که سیلیسی شدن و
کربناتیتی شدن نیز به‌طور پراکنده در سنگ‌های منطقه
مشاهده می‌شوند. به‌طور کلی، این نوع دگرسانی، نخست از
کانی‌های فرومیزیم‌دار نظیر الیوین و پیروکسن شروع شده و
سپس پلاژیوکلازها و به ندرت فلدسپار پتابسیم‌ها دگرسان می-
شوند. دگرسانی پروپلتی منطقه بر پایه‌ی بررسی‌های
میکروسکوپی و پراش پرتو ایکس(XRD) به چهار زون کلریتی،
اپیدوتی، هماتیتی و آلبیتی قابل تقسیم می‌شود.

دگرسانی سنگ‌های منطقه

بررسی‌های صحرایی و بررسی مقاطع نازک میکروسکوپی حاکی از این‌اند که شدت دگرسانی در طول این مجموعه یکسان نبوده و در برخی نواحی از شدت بیشتری برخوردار است، بهطوری که این دگرسانی در سنگ‌های یاد شده به دو صورت دگرسانی فرآگیر انتخابی و نافرآگیر رخنمون یافته است. دگرسانی فرآگیر انتخابی بهصورت تبلور کانی‌های ثانویه بدون آنکه بافت اولیه سنگ دستخوش تغییر شود، مشخص است، درحالی‌که در دگرسانی نافرآگیر فقط بخش‌های معینی از حجم سنگ تحت تاثیر شاره‌های دگرسان‌کننده قرار می‌گیرند که این بخش‌ها شامل زیر گروه‌هایی هستند که حفره‌ها و رگه‌ها و رگچه‌های گرمابی را پر می‌کنند. مراحل مختلف دگرنهادی مانند کلریتی، اپیدوتی، هماتیتی، آلبیتی، سیلیسی و کربناتیتی شدن را می‌توان بر اساس مشاهدات ساختاری، شواهد سنگ‌نگاری و نیز آنالیزهای XRD در سنگ‌های منطقه مشاهده کرد (شکل ۲). دگرسانی نافرآگیر در منطقه عبارتند از پر کننده‌ی حفره‌ها، رگه‌ها و رگچه‌های گرمابی. بررسی‌ها حاکی از این است که این حفره‌ها و رگه‌ها و رگچه‌ها با کانی‌های ثانویه‌ی کوارتز،

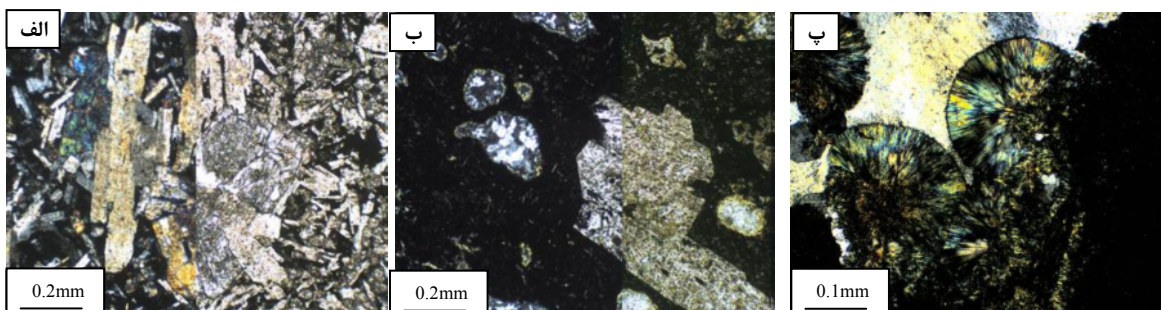


شکل ۲ آنالیزهای XRD از کانی‌های ثانویه پرکنندهی حفره‌ها و رگه‌ها و رگچه‌ها: Chl: کلریت، Epi: اپیدوت، Qzt: کلسیت، Cc: کوارتز، Prh: پرهینیت، Pump: پامپلی ایت. Hem: هماتیت.

که ناشی از دگرسانی و جانشینی کانی‌های اولیه از جمله پیروکسن، الیوین و نیز برخی از فنوکریست‌های پلازیوکلаз و فلدسپارهای قلیایی هستند. (شکل ۳ ب). در برخی از بخش‌ها شدت دگرسانی به حدی زیاد است که کانی‌های اولیه قابل تشخیص نیست. به طور کلی می‌توان گفت که دگرسانی کلریتی به صورت دو صورت دگرسانی فراگیر انتخابی (جانشینی کلریت به صورت دو صورت دگرسانی فراگیر انتخابی (جانشینی کلریتی با الیوین و پیروکسن) و نیز نا فراگیر (برشدگی حفره‌ها با کلریت) و با گسترش زیاد در سنگ‌های منطقه قابل مشاهده است. نتایج تجزیه ریز پردازشی کانی‌های کلریت و فرمول ساختاری آن‌ها بر پایه‌ی ۲۸ اتم اکسیژن محاسبه و در جدول ۱ و ۲ ارائه شده‌اند. بر اساس نمودار پیشنهادی کلریت‌ها [۷]، کلریت‌های منطقه در قلمرو پنینیت، تالک-کلریت و دیابانیت قرار گرفته و دامنه‌ی تغییرات Fe در این کانی‌ها کم تا متوسط است (شکل ۴).

دگرسانی فراگیر انتخابی دگرسانی کلریتی

این نوع دگرسانی حالت خاصی از دگرسانی پروپلیتی است، ولی به دلیل درصد بالای کلریت آن را به نام دگرسانی کلریتی می‌شناسند. براساس بررسی‌های میکروسکوپی و پراش‌های پرتو ایکس (XRD) روی سنگ‌های منطقه، کانی‌های کلریت، کلسیت، کوارتز و آلبیت به عنوان کانی‌های مهم زون کلریتی منطقه تشخیص داده شده‌اند. این کلریت‌ها غالباً به رنگ سبز تا آبی دیده می‌شوند که این پدیده در اثر آزاد شدن Fe^{2+} از پیروکسن‌ها و ترکیب شدن با یون-Cl- گرمابی‌ها طی دگرسانی کلریتی، است (شکل ۳ پ). در این زون دگرسانی، دو نوع کلریت قابل تفکیک‌اند: کلریت نوع اول که در فضاهای خالی رشد شعاعی پیدا کرده‌اند و به شکل‌های کروی و به رنگ‌های سبز و آبی قابل مشاهده‌اند. نوع دوم شامل کلریت‌هایی هستند



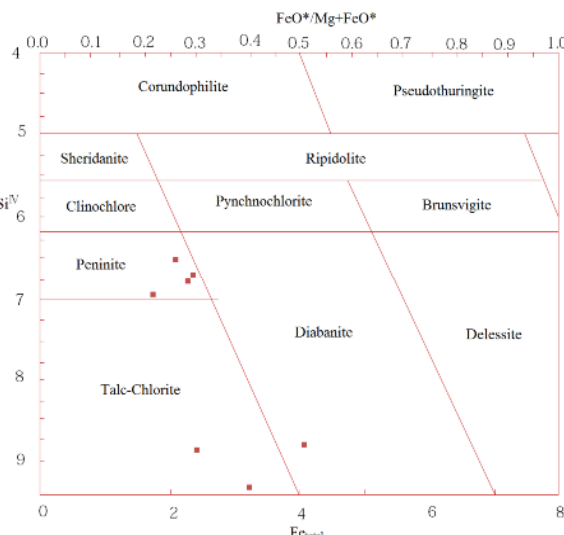
شکل ۳ کلریتی شدن بلورهای پیروکسن در پیروکسن دلریت (الف) کلریتی شدن بلورهای پلازیوکلاز در بازالت (ب) و پر شدگی حفره‌ها با بلورهای ثانویه کلریت (پ).

جدول ۱ نتایج آنالیز XPMA بر روی کلریت‌های پرکننده‌ی حفره‌ها و در زمینه‌ی سنگ‌های منطقه.

Sample	Chl-1	Chl-2	Chl-3	Chl-4	Chl-5	Chl-6	Chl-7
SiO_2	۴۰,۶۱	۴۰,۴	۳۹,۹	۴۲,۷۳	۵۱,۳۳	۵۰,۵۸	۵۳,۳۴
Al_2O_3	۱۲,۹	۱۳,۹۴	۱۵,۶۱	۱۳,۶۵	۷,۶	۴,۹۳	۲۰,۹۱
Na_2O	۰,۰	۰,۲۳	۰,۱۲	۰,۵	۱,۸۸	۱,۴۱	۴,۴۶
MgO	۲۲,۴۶	۲۲,۷۹	۲۲,۱۸	۲۲,۳۴	۸,۸۴	۱۱,۰۸	۱,۷۹
K_2O	۰,۰۵	۰,۰۸	۰,۱۲	۰,۱۱	۰,۰۶	۰,۰۵	۰,۵۲
CaO	۰,۴۳	۰,۸۹	۱,۴	۰,۶۸	۱۲,۸۱	۱۵,۵	۱۰,۶۱
Fe_2O_3	۱۷,۸۴	۱۵,۸۹	۱۲,۷۷	۱۵,۳۸	۱۱,۹۷	۹,۵۲	۲,۷۷
MnO	۰,۳۵	۰,۳۳	۰,۲۷	۰,۲۶	۰,۴۸	۰,۵۱	۰,۰۶
TiO_2	۰,۰۱	۰,۰۰	۰,۰۰	۰,۰۰	۰,۹۵	۱,۳۹	۰,۴۴
SO_3	۰,۱۱	۰,۱۷	۰,۲۸	۰,۰۹	۰,۱۵	۰,۱۶	۰,۳۶
SrO	۰,۰۲	۰,۰۰	۰,۰۲	۰,۰۰	۰,۰۲	۰,۰۲	۰,۰۱
Cr_2O_3	۰,۰۰	۰,۰۰	۰,۰۰	۰,۰۱	۰,۰۶	۰,۰۸	۰,۰۱
La_2O_3	۰,۰۰	۰,۱۹	۰,۰۰	۰,۰۰	۰,۰۰	۰,۰۰	۰,۰۰
CeO_2	۰,۰۰	۰,۲۱	۰,۰۰	۰,۰۰	۰,۰۰	۰,۰۰	۰,۰۰
ZrO_2	۰,۰۰	۰,۰۲	۰,۰۱	۰,۰۲	۰,۰۰	۰,۰۰	۰,۰۱
Nd_2O_3	۰,۰۰	۰,۰۷	۰,۰۰	۰,۰۰	۰,۰۰	۰,۰۰	۰,۰۰
V_2O_5	۰,۰۰	۰,۰۰	۰,۰۲	۰,۰۳	۰,۰۰	۰,۰۱	۰,۰۷
NiO	۰,۰۲	۰,۰۰	۰,۰۱	۰,۰۱	۰,۰۰	۰,۰۰	۰,۰۰
ZnO	۰,۰۲	۰,۰۲	۰,۰۲	۰,۰۳	۰,۰۰	۰,۰۰	۰,۰۰
PrO_2	۰,۰۰	۰,۰۳	۰,۰۰	۰,۰۰	۰,۰۰	۰,۰۰	۰,۰۰
H_2O	۴,۲	۴,۶۴	۴,۸۹	۴,۱۶	۴,۸۲	۴,۵۸	۴,۱۳
Total	۱۰۰,۰۲	۹۹,۹۹	۱۰۰,۱۲	۱۰۰	۹۹,۹۷	۱۰۰,۰۱	۹۹,۹۹

جدول ۲ نتایج ریز پردازشی کانی‌های کلریت بر اساس ۲۸ کاتیون اکسیژن.

Sample	Chl-1	Chl-2	Chl-3	Chl-4	Chl-5	Chl-6	Chl-7
Si	۷,۳	۷,۲۷	۷,۰۵	۷,۵	۹,۶۹	۸,۹	۸,۸۴
Al	۰,۷	۰,۷۳	۰,۹۵	۰,۵	۰,۰۰	۰,۰۰	۰,۰۰
Al	۲,۰۶	۲,۲۷	۲,۳۵	۲,۴	۱,۷۶	۱,۰۵	۳,۹۵
Mg	۶,۲۸	۶,۱۱	۶,۶۲	۵,۸۵	۲,۴۹	۲,۹	۰,۴۴
K	۰,۲۳	۰,۰۳	۰,۰۵	۰,۰۵	۰,۱۳	۰,۱۲	۰,۲
Ca	۰,۰۸	۰,۱۷	۰,۲۶	۰,۱۲	۰,۰۰	۲,۹۲	۱,۸۸
Fe	۰,۷۲	۰,۸۱	۰,۷۶	۰,۹۹	۱,۷	۱,۲۶	۰,۴
Fe	۱,۶۸	۱,۳۳	۰,۸۷	۱,۴	۰,۰۰	۰,۰۰	۰,۰۰
Mn	۰,۰۵	۰,۰۵	۰,۰۴	۰,۰۳	۰,۰۷	۰,۰۷	۰,۰۰۸
Ti	۰,۰۰۱	۰,۰۰	۰,۰۰	۰,۰۰	۰,۱۳	۰,۱۸	۰,۰۵
Cr	۰,۰۰	۰,۰۰	۰,۰۰	۰,۰۰۱	۰,۰۰	۰,۰۱	۰,۰۰۱
Ni	۰,۰۰۲	۰,۰۰	۰,۰۰۱	۰,۰۰۱	۰,۰۰	۰,۰۰	۰,۰۰



شکل ۴ ردی بندی ژئوشیمیابی کلریت‌های منطقه روی نمودار [۷].

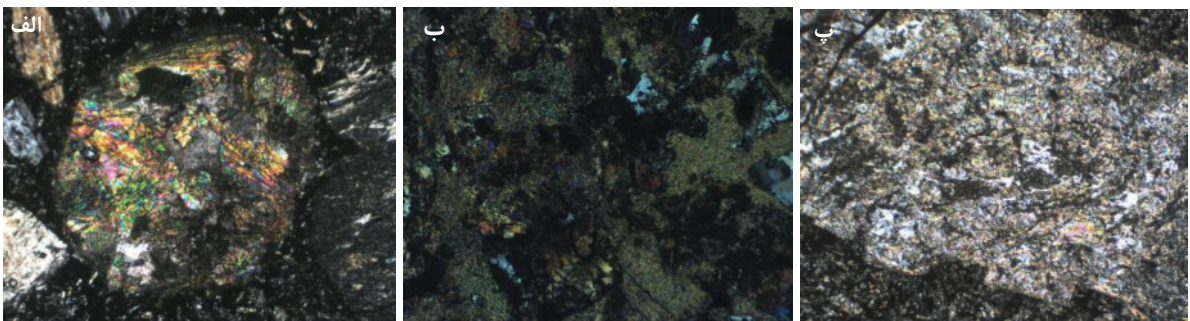
در این زون دگرسانی نیز دو نوع اپیدوت قابل شناسایی است: اپیدوت نوع اول که در حفره‌ها و نیز فضاهای خالی و به صورت نیمه شعاعی بوده و دارای بافت آبله گونند (شکل ۵ الف) و نوع دوم شامل اپیدوت‌هایی است که حاصل از دگرسانی پلازیوکلازهای کلسیک هستند (شکل‌های ۵ ب و ۵ پ). این زون دگرسان نیز مانند زون دگرسان کلریتی به دو صورت فراگیر انتخابی و نا فراگیر، ولی با گسترش کمتر نسبت به زون کلریتی در منطقه قابل مشاهده‌اند. نتایج تجزیه‌ی ریزپردازشی کانی‌های اپیدوت و فرمول ساختاری آن‌ها بر پایه‌ی ۱۲/۵ اتم اکسیژن محاسبه و در جدول ۴-۳ ارائه شده‌اند.

پارامتر اصلی تعیین خاستگاه کانی اپیدوت میزان Fe^{3+} است، با در نظر گرفتن میزان Fe^{3+} موجود در کانی اپیدوت می‌توان درصد پیستاشیت را بر اساس

دگرسانی اپیدوتی دگرسانی یکی از کانی‌های شاخص در دگرسانی پروپلیتی منطقه است. این کانی در نمونه‌ی دستی و نیز در مقاطع میکروسکوپی اغلب با کوارتز هم رشدی دارند. زون‌های اپیدوتی شده با حضور سنگ‌های آتشفسانی سبز غنی از اپیدوت که بیشتر در واحدهای آندزیتی و کمتر در واحدهای بازالتی منطقه، مشخص اند. زون اپیدوتی غالباً در مناطقی با شکستگی‌ها و حفره‌های فراوان که سنگ‌ها نفوذپذیری بیشتری دارند و به موجب آن نسبت آب به سنگ هنگام دگرسانی بالاتر بوده است، تشکیل شده است. عدم حضور کلریت در مجموعه سنگ‌های زون اپیدوتی، تا حدی نشان‌دهنده بالاتر بودن دمای شاره‌ی دگرسان کننده در زمان تشکیل این زون بوده است. بهطور کلی اپیدوت در اثر دگرسانی پلازیوکلازهای غنی از کلسیم تشکیل می‌شود.

متوسط تا زیاد (۶ تا ۸ کیلوبار) صورت می‌گیرد که این تا حدی تابع ترکیب و عمق جایگیری ماقماست [۹]. ویژگی دیگر شیمی کانی که به شناخت اپیدوت ماقمایی کمک می‌کند، میزان TiO_2 موجود در این کانی است. در سیستم‌های ماقمایی میزان این اکسید در اپیدوت ماقمایی کمتر از ۱۰ درصد وزنی است [۱۰]. میزان TiO_2 در اپیدوت‌های مورد بررسی به طور متوجه در گستره ۱۰٪ تا ۳۰٪ درصد وزنی بوده و این میزان موبد ماقمایی بودن اپیدوت‌های مورد بررسی است.

$Ps = 100 * Fe^{3+} / (Fe^{3+} + Al^{3+})$ محاسبه کرد. اپیدوت‌ها حاصل از دگرسانی پلازیوکلارز دارای محتوای پیستاسیت بین صفر تا ۲۴ درصد بوده در حالی که آن‌هایی که از دگرسانی بیوتیت تشکیل شده‌اند دارای پیستاسیت ۳۶ تا ۴۸ درصد و اپیدوت‌های ماقمایی دارای پیستاسیت ۲۲ تا ۲۹ درصدند [۸]. از این ۲۵ رو با توجه به اینکه میزان PS اپیدوت‌های آنالیز شده بین ۳۶ درصدند (جدول ۵)، می‌توان نتیجه گرفت که اپیدوت منطقه از نوع ماقمایی و از سوسوریتی شدن پلازیوکلارز تشکیل شده‌است (شکل ۶). تشکیل اپیدوت‌های ماقمایی در فشار



شکل ۵ (الف) بلورهای اپیدوت پر کننده حفره‌ها (ب) اپیدوزیت موجود در واحدهای آندزیتی منطقه‌ی (پ) اپیدوتی شدن بلورهای پلازیوکلارز.

جدول ۳ نتایج آنالیز XPMA بر روی اپیدوت‌های پرکننده حفرات و موجود در زمینه در سنگ‌های منطقه.

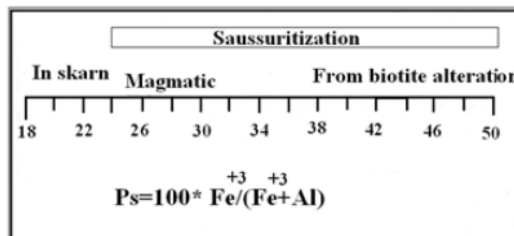
Sample	E-1	E-2	E-3	E-4	E-5	E-6
SiO_2	۳۵,۲۸	۳۵,۹	۳۸,۹۴	۳۸,۵۸	۳۹,۰۱	۳۹
Al_2O_3	۱۶,۹۷	۱۸,۳۴	۲۰,۰۳	۲۰,۳۷	۲۱,۸۱	۲۱,۹۴
Na_2O	۰,۰۸	۰,۰۳	۰,۰۱	۰,۳۲	۰,۶	۰,۰۳
MgO	۰,۴۲	۶,۵۲	۰,۰۲	۰,۰۱	۰,۱۷	۰,۰۰
K_2O	۰,۰۶	۰,۰۰	۰,۰۷	۰,۰۰	۰,۰۰	۰,۰۱
CaO	۱۸,۴۳	۱۴,۶۷	۲۰,۶۱	۲۱,۱۳	۲۱,۷۹	۲۱,۸
Fe_2O_3	۱۶,۷۸	۱۵,۸۵	۱۴,۹۱	۱۴,۹۷	۱۱,۷۴	۱۱,۸۶
MnO	۰,۲۳	۰,۴	۰,۳۲	۰,۲۷	۰,۰۸	۰,۱
TiO_2	۰,۰۱	۰,۰۱	۰,۰۷	۰,۰۸	۰,۰۵	۰,۰۴
SO_3	۰,۰۰	۰,۱	۰,۱۳	۰,۱۱	۰,۲۴	۰,۲۱
SrO	۰,۲۶	۰,۲۲	۰,۶۴	۰,۵۸	۰,۲۷	۰,۲۷
Cr_2O_3	۰,۰۰	۰,۰۰	۰,۰۳	۰,۰۱	۰,۰۰	۰,۰۰
La_2O_3	۱,۳۹	۱,۳۱	۰,۰۰	۰,۰۰	۰,۰۰	۰,۰۰
CeO_2	۲,۹۹	۲,۵۵	۰,۰۰	۰,۰۰	۰,۰۰	۰,۰۰
ZrO_2	۰,۰۰	۰,۰۲	۰,۰۰	۰,۰۰	۰,۰۰	۰,۰۰
Nd_2O_3	۰,۴۶	۰,۱۲	۰,۰۰	۰,۰۰	۰,۰۰	۰,۰۰
Sm_2O_3	۰,۲	۰,۰۰	۰,۰۰	۰,۰۰	۰,۰۰	۰,۰۰
Eu_2O_3	۰,۰۲	۰,۰۰	۰,۰۰	۰,۰۰	۰,۰۰	۰,۰۰
Gd_2O_3	۰,۵۱	۰,۰۰	۰,۰۰	۰,۰۰	۰,۰۰	۰,۰۰
PrO_2	۱,۲۴	۰,۲۷	۰,۰۰	۰,۰۰	۰,۰۰	۰,۰۰
CuO	۰,۰۰	۰,۰۰	۰,۰۰	۰,۰۰	۰,۰۳	۰,۰۰
V_2O_5	۰,۰۰	۰,۰۰	۰,۰۰	۰,۰۰	۰,۰۵	۰,۰۴
H_2O	۴,۶۸	۳,۶۵	۴,۲۳	۳,۵۸	۴,۱۵	۴,۷۳
Total	۱۰۰,۰۱	۹۹,۹۶	۱۰۰,۰۱	۱۰۰,۰۱	۹۹,۹۹	۱۰۰,۰۲

جدول ۴ نتایج ریز پردازشی کانی‌های اپیدوت بر اساس ۱۲.۵ کاتیون اکسیژن.

Sample	E-1	E-2	E-3	E-4	E-5	E-6
Si	۲۱.۴	۳۰.۳	۲۶۶	۳۱۴	۳۱۶	۳۱۷
Al	۱.۷۸	۱.۸۲	۱.۶۱	۱.۹۵	۲.۰۸	۲.۱
Na	۰.۰۱	۰.۰۰۵	۰.۰۰۲	۰.۰۵	۰.۰۹	۰.۰۰۵
Mg	۰.۰۵	۰.۸۲	۰.۰۰۲	۰.۰۰۱	۰.۰۲	۰.۰۰
K	۰.۰۰۷	۰.۰۰	۰.۰۰۶	۰.۰۰	۰.۰۰	۰.۰۰۱
Ca	۱.۷۶	۱.۳۳	۱.۵۱	۱.۸۴	۱.۹	۱.۹
Fe	۱.۱۲	۱	۰.۷۶	۰.۹۱	۰.۷۱	۰.۷۲
Mn	۰.۰۲	۰.۰۳	۰.۰۲	۰.۰۲	۰.۰۰۵	۰.۰۰۷
Ti	۰.۰۰۱	۰.۰۰۱	۱.۰۳	۰.۰۰۵	۰.۰۰۳	۰.۰۰۲

جدول ۵ محاسبه پیستاستیت اپیدوت‌های منطقه.

PS میانگین	E-1	E-2	E-3	E-4	E-5	E-6
۳۱.۱۵	۲۶.۶۲	۳۵.۴۶	۳۱.۸۹	۳۲	۲۵.۴۴	۲۵.۵۳

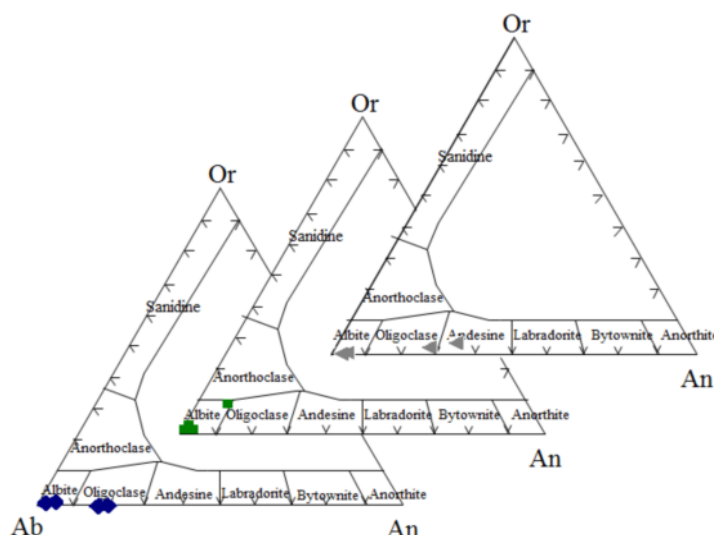


شکل ۶ نمودار تعیین خاستگاه اپیدوت بر اساس میزان پیستاستیت که نمونه‌ها ناشی از سوسوریتی شدن پلاژیوکلازها هستند [۱۱].

این منطقه به آلبیت دگرسان شده‌اند (شکل ۷ و ۹ ت) همچنین کانی‌های ثانوی دیگری چون کلریت و کوارتز نیز همراه با آلبیت در این سنگ‌ها به فراوانی مشاهده می‌شوند. نتایج تجزیه ریز پردازشی کانی‌های پلاژیوکلاز موجود در سنگ‌های آتشفسانی منطقه و فرمول ساختاری آن‌ها بر پایه‌ی اتم اکسیژن محاسبه و در جدول‌های ۶ و ۷ ارائه شده‌اند.

دگرسانی آلبیتی

دگرسانی آلبیتی که به سدیم دگرنهاد نیز معروف است بیشتر به دلیل اضافه شدن سدیم از طریق محلول‌های ماگمای یا گرمابی حاصل می‌شود. این نوع دگرسانی نشان‌دهنده‌ی غنی-شدگی سدیم است. بر اساس شواهد میکروسکوپی و نیز پراش-های پرتو ایکس (XRD) پلاژیوکلازهای موجود در سنگ‌های



شکل ۷ ترکیب بلورهای پلاژیوکلاز و فلدسپات‌پتاسمیم از سنگ‌های بازالتی و آندزیتی بر روی نمودار رده بندی فلدسپات‌ها.

جدول ۶ نتایج آنالیز کمی نقطه‌ای کانی‌های پلازیوکلارز بر روی نمونه‌های منطقه.

Sample	بازالت	بازالت	بازالت	بازالت	بازالت	پیروکسن دلبریت	پیروکسن دلبریت	پیروکسن دلبریت	پیروکسن دلبریت	آندزیت	آندزیت	آندزیت	آندزیت
No	B-10	B-10	B-12	B-12	P.D-5	P.D5	P.D-7	P.D-7	An-1	An-1	An-6	An-6	
Location	مرکز	حاشیه	مرکز	حاشیه	مرکز	حاشیه	مرکز	حاشیه	مرکز	حاشیه	مرکز	حاشیه	
SiO ₂	۶۰,۱۸	۶۱,۳۷	۶۷,۵۷	۶۸,۴۹	۷۰,۱۶	۷۱,۹۵	۶۶,۰۱	۶۵,۵۲	۷۱,۵۱	۶۸,۷۶	۶۷,۹۴	۶۶,۰۳	
Al ₂ O ₃	۱۷,۵۶	۱۷,۷	۱۸,۷	۱۷,۰۶	۱۷	۱۷,۵۶	۱۵,۹۳	۱۴,۹۳	۱۷,۱	۱۷	۱۷,۴۱	۱۸,۰۴	
Na ₂ O	۵,۵۸	۶,۴۴	۶,۴۹	۷,۷۵	۸,۴۶	۹,۵۲	۷,۴۸	۸,۲۳	۷,۹۳	۹,۳۴	۸,۶۷	۷,۶۲	
MgO	۴,۳	۳,۰۶	۲,۸۴	۲,۷۴	۰,۵۵	۰,۰	۲,۲۹	۲,۹۸	۰,۰۰	۰,۱۴	۰,۱۹	۰,۲۷	
K ₂ O	۰,۵۵	۰,۵۱	۰,۱۲	۰,۰۸	۰,۰۴	۰,۰۷	۰,۰۳	۰,۰۷	۰,۰۴	۰,۰۴	۰,۲۶	۱,۰۵	
CaO	۵,۳۸	۴,۵۷	۰,۵۴	۰,۴۳	۰,۲۷	۰,۳۴	۳,۲۱	۳,۵۷	۰,۴۳	۰,۹۲	۰,۴۹	۰,۹۶	
Fe ₂ O ₃ *	۴,۲۳	۴,۴۴	۲,۵۱	۲,۱۶	۰,۶۱	۰,۲۵	۲,۳۱	۱,۸۴	۰,۱	۲,۳	۰,۳۹	۰,۹۳	
MnO	۰,۰۹	۰,۰۹	۰,۰۵	۰,۰۵	۰,۰۴	۰,۰۴	۰,۰۸	۰,۰۶	۰,۰۰	۰,۰۰	۰,۰۰	۰,۰۰	
TiO ₂	۰,۸۵	۰,۶۱	۰,۰۹	۰,۱۳	۰,۰۵	۰,۱۴	۰,۱۶	۰,۱۶	۰,۰۰	۰,۲۷	۰,۰۱	۰,۰۴	
SO ₃	۰,۳۶	۰,۲۹	۰,۲۲	۰,۱۴	۰,۰۸	۰,۰۷	۰,۱۳	۰,۱۱	۰,۱۴	۰,۲	۰,۱۵	۰,۱۲	
SrO	۰,۰۱	۰,۰۲	۰,۰۱	۰,۰۰	۰,۰۰	۰,۰۰	۰,۰۱	۰,۰۱	۰,۰۰	۰,۰۱	۰,۰۱	۰,۰۱	
Cr ₂ O ₃	۰,۰	۰,۰۰	۰,۰۰	۰,۰۱	۰,۰۰	۰,۰۰	۰,۰۰	۰,۰۰	۰,۰۰	۰,۰۰	۰,۰۳	۰,۰۵	
CuO	۰,۰۴	۰,۰۲	۰,۰۱	۰,۰۰	۰,۰۱	۰,۰۱	۰,۰۰	۰,۰۰	۰,۰۲	۰,۰۳	۰,۰۰	۰,۰۰	
CeO ₂	۰,۰	۰,۰	۰,۰	۰,۰۰	۰,۴۹	۰,۰۰	۰,۰۰	۰,۰۰	۰,۰۰	۰,۰۰	۰,۰۰	۰,۰۰	
ZrO ₂	۰,۰	۰,۰۱	۰,۰۱	۰,۰۱	۰,۰۱	۰,۰۰	۰,۰۱	۰,۰۱	۰,۰۰	۰,۰۱	۰,۰۰	۰,۰۰	
V ₂ O ₅	۰,۰	۰,۰۱	۰,۰۱	۰,۰۱	۰,۱۹	۰,۰۱	۰,۰۰	۰,۰۰	۰,۰۰	۰,۰۴	۰,۰۷	۰,۰۰	
ZnO	۰,۰	۰,۰	۰,۰	۰,۰۰	۰,۰۱	۰,۰۰	۰,۰۰	۰,۰۰	۰,۰۰	۰,۰۰	۰,۰۰	۰,۰۰	
H ₂ O	۰,۷۶	۰,۸۶	۰,۸۴	۰,۹۲	۲,۰۵	۱,۰۵	۱,۳۶	۲,۵۱	۰,۸۹	۰,۹۱	۴,۴۵	۴,۶۹	
Total	۹۹,۹۹	۱۰۰	۱۰۰,۰۱	۹۹,۹۹	۱۰۰,۰۲	۱۰۰,۰۱	۱۰۰,۰۱	۱۰۰,۰۱	۱۰۰	۱۰۰	۱۰۰	۹۹,۸۱	

جدول ۷ نتایج ریز پردازشی کانی‌های پلازیوکلارز بر اساس ۸ کاتیون اکسیژن.

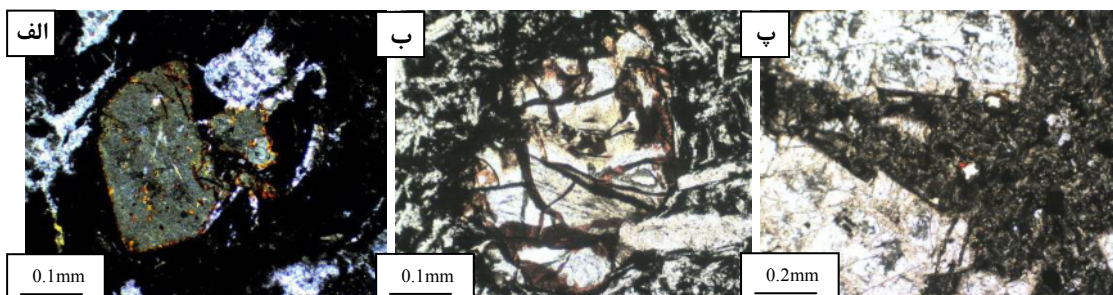
Sample	بازلت	بازلت	بازلت	بازلت	بازلت	پیروکسن دلبریت	پیروکسن دلبریت	پیروکسن دلبریت	پیروکسن دلبریت	آندزیت	آندزیت	آندزیت	آندزیت
No	B-10	B-10	B-12	B-12	P.D-5	P.D5	P.D-7	P.D-7	An-1	An-1	An-6	An-6	
Location	مرکز	حاشیه	مرکز	حاشیه	مرکز	حاشیه	مرکز	حاشیه	مرکز	حاشیه	مرکز	حاشیه	
Si	۲,۷۶	۲,۸۱	۲,۹۸	۳,۰۲	۳,۱۱	۳,۱۴	۲,۹۶	۲,۹۹	۳,۱۲	۳,۰۵	۳,۰۸	۳,۰۳	
Al	۰,۹۵	۰,۹۵	۰,۹۷	۰,۸۸	۰,۸۹	۰,۸۵	۰,۸۴	۰,۸	۰,۸۸	۰,۸۹	۰,۹۳	۰,۹۷	
Na	۰,۴۹	۰,۵۷	۰,۵۵	۰,۶۶	۰,۷۲	۰,۸	۰,۶۵	۰,۷۲	۰,۸۲	۰,۸	۰,۷۶	۰,۶۷	
Mg	۰,۲۹	۰,۲	۰,۱۸	۰,۱۸	۰,۰۳	۰,۰۰	۰,۲۲	۰,۲	۰,۰	۰,۰۰۲	۰,۰۱	۰,۰۱	
K	۰,۰۳	۰,۰۳	۰,۰۰۶	۰,۰۰۴	۰,۰۰۲	۰,۰۰۴	۰,۰۰۱	۰,۰۰۴	۰,۰۰۲	۰,۰۱	۰,۰۶	۰,۰۶	
Ca	۰,۲۶	۰,۲۲	۰,۰۲	۰,۰۲	۰,۰۱	۰,۰۱	۰,۱۵	۰,۱۷	۰,۰۲	۰,۰۴	۰,۰۲	۰,۰۵	
Fe *	۰,۱۵	۰,۱۵	۰,۰۸	۰,۰۷	۰,۰۲	۰,۰۰۸	۰,۰۸	۰,۰۶	۰,۰۰۳	۰,۰۷	۰,۰۱	۰,۰۳	
Mn	۰,۰۰۳	۰,۰۰۳	۰,۰۰۱	۰,۰۰۱	۰,۰۰۱	۰,۰۰۱	۰,۰۰۳	۰,۰۰۲	۰,۰۰	۰,۰۰	۰,۰۰	۰,۰۰	
Ti	۰,۰۳	۰,۰۲	۰,۰۰۳	۰,۰۰۴	۰,۰۰۱	۰,۰۰۴	۰,۰۰۵	۰,۰۰۵	۰,۰۰	۰,۰۱	۰,۰۰۱	۰,۰۰۱	
Ab	۶۲,۵۹	۶۹,۲۴	۹۴,۵	۹۶,۳۹	۹۷,۹۶	۹۷,۶۰	۸۰,۶	۸۰,۳۰	۹۷,۲۶	۹۴,۵۸	۹۵,۱۵	۸۶,۱۸	
An	۲۲,۳۴	۲۷,۱۵	۴,۳۴	۲,۹۵	۱,۷۳	۱,۹۲	۱۹,۱۲	۱۹,۲۴	۲,۳۷	۵,۱۵	۲,۹۷	۶	
Or	۴,۰۵	۳۶	۱,۱۴۹	۰,۶۵	۰,۳	۰,۴۷	۰,۲۱	۰,۴۴	۰,۲۶	۰,۲۶	۱,۸۷	۷,۸۲	

ایندگیستیه شدن که از ویژگی دگرسانی بلورهای الیوین در دمای بالاست، در شکستگی‌ها و حاشیه‌ی بلورهای الیوین و نیز در زمینه‌ی سنگ به فراوانی دیده می‌شود (شکل ۸). پوشش‌های پرتو ایکس نمونه‌های به شدت دگرسان شده حاکی از این است که در این زون علاوه بر هماتیت، کلسیت، کوارتز، ایلیت، روتیل

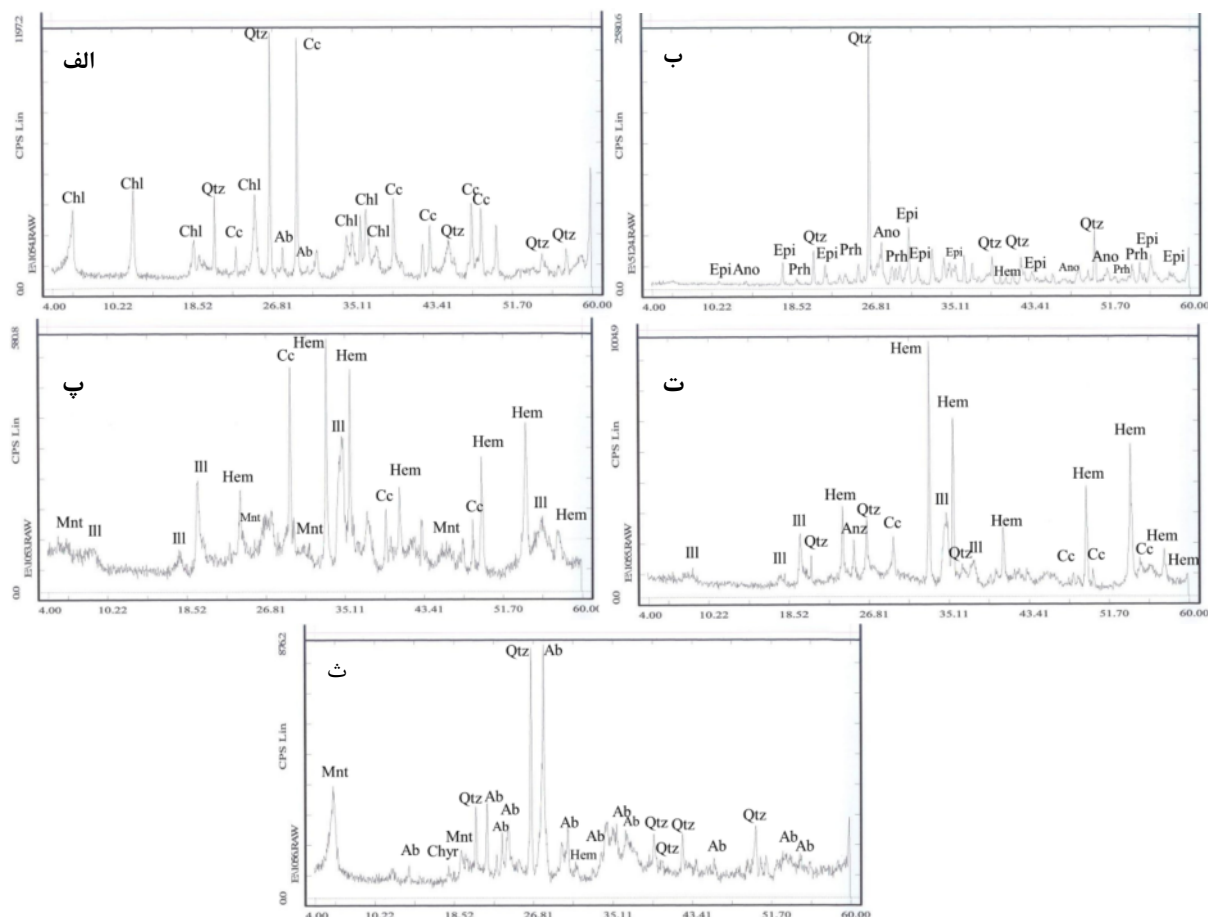
دگرسانی هماتیتی دارد. آتشفشاری سنگ‌های هماتیتی شده نسبت به کلریتی شده؛ حجم کمتری به خود اختصاص داده‌اند. در این سنگ‌ها هماتیت جانشین کانی‌های فرومیزین شده‌اند. بررسی مقاطع سنگ‌های هماتیتی شده منطقه حاکی از آن است که

علاوه بر دگرسانی‌های یاد شده، کربناتیتی شدن و سیلیسی شدن نیز در سنگ‌های منطقه حاکم‌اند، به طوری که در برخی از شکستگی‌ها، کلسیت، کوارتز به صورت رگچه در کنار هم حضور دارند. همراهی کلسیت و کوارتز در رگه‌های کوارتز-کربنات، نیز موبید یک فاز تأخیری گرمابی پس از دگرسانی پروپلیتی است.

و آناتاز نیز حضور دارد (شکل‌های ۹ ب و ۹ الف). به نظر می‌رسد هماتیتی شدن به واسطه نفوذ شاره‌های غنی از Fe-Ca-Mg در سنگ‌های منطقه باشد که همزمان و یا پس از کلریتی و اپیدوتی شدن سنگ‌های آتشفشنانی، شاره‌ای که در اثر شستشوی سنگ‌های منطقه حاوی مقادیر فراوانی آهن و مسیزیم بوده در نواحی با گریزندگی اکسیژن بالا، سبب تشکیل زون هماتیتی می‌شود.



شکل ۸ الف و ب) ایدنگسیتی شدن در مرکز و حاشیه‌ی بلورهای الیوین (پ) ریز بلورهای ایدنگسیت موجود در زمینه.



شکل ۹ آنالیزهای XRD از واحدهای دگرسان پروپلیتی منطقه. الف) زون کلریتی ب) زون اپیدوتی پ و ت) زون هماتیتی ث) زون آلبیتی
اختصارها: Chl: کلریت، Epi: اپیدوت، Cc: کلسیت، Qtz: کوارتز، Prh: پرهینیت، Hm: هماتیت، QtzIII: کریزوتیل، Ab: آلبیت، Mnt: مونت
موریلونیت، Ant: آلبیت، III: آناتاز

خط CiA / CiO است.

از عناصر نامتحرك P, Ti, Co, Nb, Y, Ni ترسیم خط هم غلظت‌های مربوط به منطقه‌ی اپیدوتی، عناصر نامتحرك Co, La, Y, V, Ni, Ti, برای زون آلبیتی، عناصر نامتحرك Co, Th, La, Nb, Y, Ni برای زون کلریتی و عناصر نامتحرك Zn, Ni, V, Zr, Y, CO برای ترسیم هم غلظت‌های مربوط به زون هماتیتی مورد استفاده قرار گرفته‌اند. نسبت‌های دگرسان شده و کمتر دگرسان شده و نیز افزایش و کاهش جرم عناصر بر اساس درصد وزنی و ppm در جدول‌های (CiA) نسبت به (CiO) (۱۱ تا ۸) و نیز مقادیر دگرسان شده نمونه‌ها (CiA) نسبت به نمونه‌های کمتر دگرسان شده (CiO) در شکل ۱۰ نشان داده شده‌اند. در این روش برای اینکه تمامی ترکیب‌های محاسبه شده‌اند. در این روش برای اینکه تمامی ترکیب‌های مقداری کمتر دگرسان شده و دگرسان شده‌ها به یک نسبت مشخص کوچک شده‌اند. بر این اساس، نمونه‌های اپیدوتی شده میانگین شیب هم غلظت ۱ و ۱۰۲، آلبیتی شده ۱۰۹ و ۱۰۶، کلریتی شده ۱ و ۱۰۳ و زون هماتیتی ۱۰۶ و ۱۰۷ محاسبه شده‌اند این نشان می‌دهد که زون دگرسانی آلبیتی بیشترین و زون دگرسانی کلریتی کمترین تغییرات جرم را طی دگرسانی تحمل کرده‌اند. برخی از این مقادیر نشان دهنده‌ی تحرك برخی از عناصر نامتحرك در اثر دگرسانی‌های حاکم بر منطقه است که از این جمله می‌توان به تغییرات جرمی اشاره کرد که در زون آلبیتی منطقه به وجود آمده و سبب افزایش میانگین شیب هم غلظت عناصر نامتحرك این زون شده است.

به طور کلی در تمامی زون‌های دگرسان، کاهش SiO_2 را شاهد هستیم، و این کاهش در سنگ‌های دگرسان، نتیجه‌ی تجزیه کانی‌های پلاژیوکلاز، الیوین و پیروکسن سنگ مادر طی واکنش‌هایی چون تشکیل کلریت، اپیدوت و نیز مونت موریلینیت است. که این واکنش‌ها با آزادشدن SiO_2 همراه است. دگرسانی اکسیدی و تشکیل کانی‌های اکسید آهن مانند هماتیت باعث افزایش Fe_2O_3 در نمونه‌های دگرسان شده نسبت به سنگ اولیه است. آهن موجود در کانی‌های مافیک طی دگرسانی شسته می‌شود و این آهن در جای دیگری ممکن است رسوب کند و وارد ساختار کانی‌های آهن دار دگرسان شود، بخشی نیز ممکن است به صورت سولفید آهن (پیریت) رسوب کند.

ژئوشیمی دگرسانی

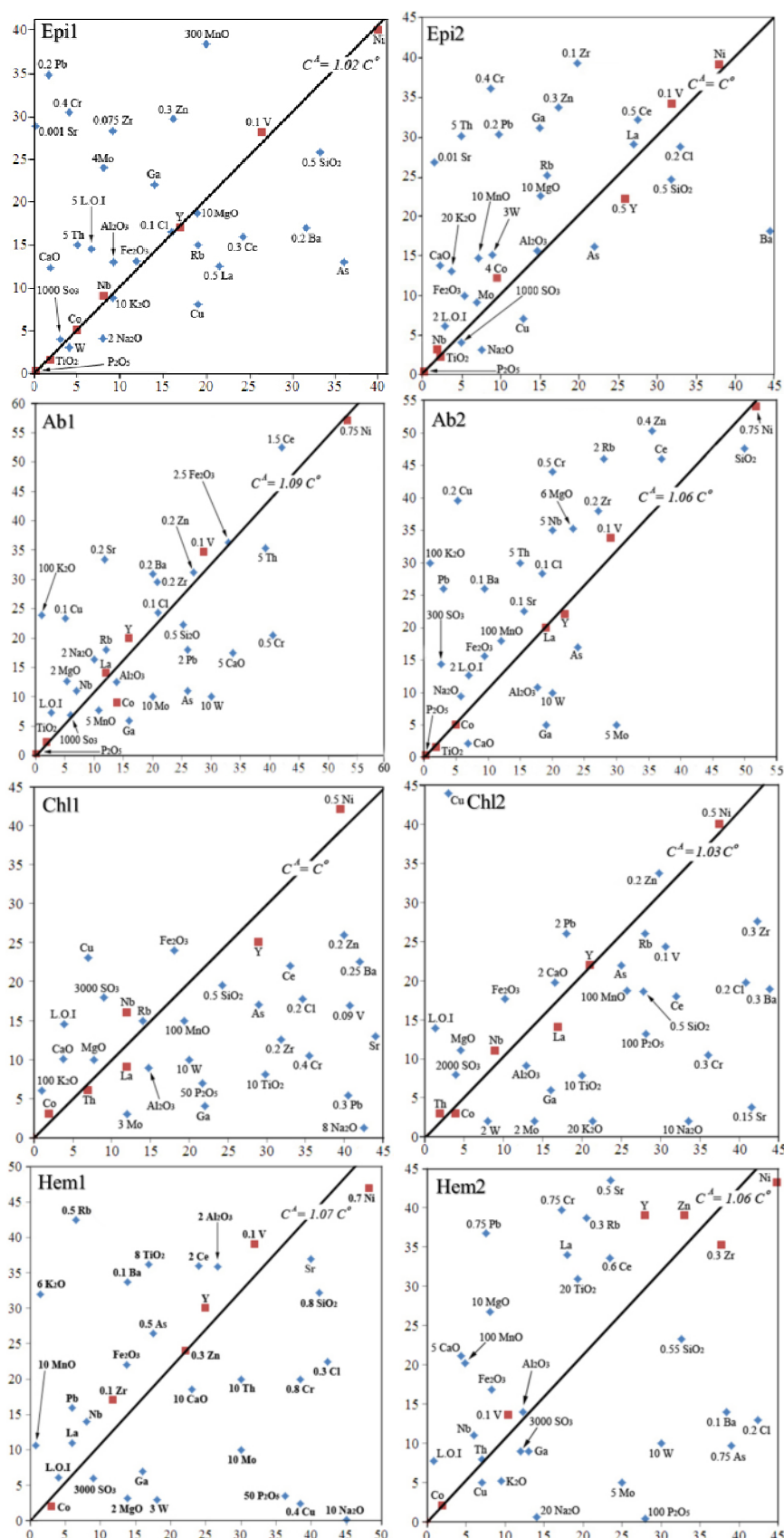
در این پژوهش، ترکیب نمونه‌های آتشفسانی مافیک و حدواسط نسبتاً سالم، به عنوان مرجعی برای دستیابی به ترکیب سنگ‌های منطقه پیش از دگرسانی در نظر گرفته شدند، و تغییرات شیمیایی سنگ‌های دگرسان نسبت به آن‌ها مورد بررسی قرار گرفتند. یک روش مفید برای تعیین افزایش یا کاهش عناصر عناصر و یا به عبارت دیگر برای تعیین تهی شدگی و غنی شدگی طی دگرسانی، از روش نموداری □ محاسبه‌ای با استفاده از نمودارهای ایزوکان [۴۳] صورت گرفت. در این نمودارها غلظت عناصر در سنگ دگرسان نسبت به غلظت آن‌ها در سنگ مادر (نا دگرسان) نمایش داده می‌شود. در روش خط هم غلظت گرانات، خطی که از مبدأ مختصات می‌گذرد و عناصر نامتحرك روی آن قرار دارند، به عنوان خط هم غلظت استفاده می‌شود. شب این خط تغییرات جرم را نشان می‌دهد و میزان انحراف عناصر از این خط نشان دهنده‌ی تغییرات جرم یا فراوانی هر عنصر طی دگرسانی است. برای تعیین شب این خط هم غلظت از روش رده بندی داده‌ها استفاده شد.

بر اساس این نمودار، عناصری که در بالای خط هم غلظت قرار دارند افزایش جرم و عناصری که در پایین این خط قرار دارند کاهش جرم را نشان می‌دهند. نمودارهای خط هم غلظت برای انواع زون‌های دگرسان منطقه‌ی مورد بررسی در شکل ۱۰ نشان داده شده‌اند. در این نمودارها عناصر اصلی بر حسب درصد وزنی و عناصر کمیاب بر حسب ppm ترسیم شده‌اند شب خط هم غلظت با استفاده از عناصر نامتحرك و بهترین خطی که از میان تمام داده‌ها و از مبدأ می‌گذرد، ترسیم شده است. معادله این خط $\text{CiA} = \text{MO/MA}$ ($\text{CiO} + \Delta\text{Ci}$) است. در این فرمول Ci : غلظت سازنده (عنصر)، O_i : سنگ مادر و A سنگ دگرسان شده MO_i : جرم‌های برابر قبل و بعد از دگرسانی، ΔCi : تغییر غلظت سازنده. $\Delta\text{Ci} = 0$

$$\text{CiA} = (\text{MO/MA}) \text{CO}$$

$$\text{CA} = (\text{CIA} + \Delta\text{CiO}) \text{CO}$$

تهی شدگی و غنی شدگی نسبی عناصر متحرك (طی دگرسانی) بر اساس موقعیت نسبی آن‌ها از خط هم غلظت مشخص و از رابطه‌ی $\Delta\text{Ci} / \text{CiO} = (\text{MO/MA}) / (\text{CiA} / \text{CiO}) - 1$ محاسبه می‌شود که در این حالت عناصر نامتحرك به عنوان خط مستقیمی که از مبدأ می‌گذرد تعریف می‌شوند که فرمول این



شکل ۱۰ خط هم غلظت زون‌های پروپلیتی مختلف دگرسان شده منطقه نسبت به نمونه‌های کمتر دگرسان شده.

جدول ۸ تهی شدگی و غنی شدگی عناصر در زون دگرسانی اپیدوتی منطقه خوش بیلاق.

Component	altered Least		Most altered		Slop to		Gain/loss		Gain/loss in	
	CiO	Epi1	CiA	Epi1	Epi2	CiA/CiO	ΔCi	CiO	Epi1	Epi2
Sample										
SiO ₂	۶۶.۴۵	۶۳.۷۱	۵۱.۶۳	۴۹.۱۲	.۷۸	.۷۷	-۰.۲۲	-۰.۲۳	-۱۴.۸۲	-۱۴.۵۹
Al ₂ O ₃	۹.۱۹	۱۴.۷۲	۱۲.۹۹	۱۰.۰۳	۱.۴۱	۱.۰۰	-۰.۴۱	-۰.۵۵	۳.۸	-۰.۱۱
Fe ₂ O ₃	۱۱.۸۲	۵.۴۲	۱۳.۰۳	۸.۳	۱.۱۰	۱.۸۱	-۰.۱	-۰.۸۱	۱.۲۱	۴.۴۱
CaO	۱.۷۹	۲.۲۹	۱۲.۳۰	۹	۶.۸۷	۰.۹۶	۰.۸۷	۴.۹۶	۱.۰۵۱	۱۱.۲۷
Na ₂ O	۲.۹۶	۷.۰۹	۲.۰۵	۱۳.۶۶	-۰.۰۲	-۰.۴	-۰.۴۸	-۰.۶	-۱.۹۱	-۴.۵۷
K ₂ O	۰.۹۱	۰.۱۹	۰.۸۸	۳.۰۲	۰.۹۷	۳.۴۲	-۰.۰۳	۲.۴۲	-۰.۰۳	۰.۴۶
MgO	۱.۸۹	۱.۰۱	۱.۸۷	-۰.۶۵	-۰.۹۹	۱.۰	-۰.۰۱	-۰.۵	-۰.۰۲	-۰.۷۴
TiO ₂	۱.۷۹۱	۲۴.۰۳	۱۴.۷۳	۲۲.۵	-۰.۸۲	-۰.۸۷	-۰.۱۸	-۰.۱۳	-۰.۳۱۸	-۰.۳۰۳
MnO	۰.۰۰۶	-۰.۰۷۲	-۰.۱۲۹	۲.۱	۱.۹۰	۲.۰۳	-۰.۹۵	۱.۰۳	-۰.۶۳	-۰.۰۷۴
P ₂ O ₅	-۰.۲۳۷	-۰.۳۳۱	-۰.۲۲۴	-۰.۱۴۶	-۰.۹۵	-۰.۶	-۰.۰۵	-۰.۴	-۰.۱۳	-۰.۱۲۲
SO _۳	-۰.۰۰۳	-۰.۰۰۵	-۰.۰۰۴	-۰.۱۹۹	۱.۶	-۰.۸	-۰.۶	-۰.۲	-۰.۰۰۲	-۰.۰۰۱
L.O.I	۱.۲۳	۱.۴۶	۲.۸۹	-۰.۰۰۴	۲.۱۷	۲.۰۱	۱.۱۷	۱.۰۱	۱.۰۵	۱.۰۵
Cl	۱۶۰	۱۶۵	۱۶۵	۳.۰۱	۱.۰۳	-۰.۸۷	-۰.۰۳	-۰.۱۳	۵	-۲۲
Ba	۱۵۸	۱۴۸	۸۵	۱۴۳	-۰.۵۴	-۰.۴	-۰.۴۶	-۰.۶	-۷۳	-۸۸
Sr	۱.۰۷	۱۵۵	۲۸۸۳	۶۰	۲۶۹۹	۱۷۸۵	۲۰۹	۱۶۲۵	۲۲۷۷	۲۰۱۸
Nb	۸	۲	۹	۲۶۷۳	۱.۱۲	۶	-۰.۱۲	۵	۱	۱۰
Ga	۱۴	۱۵	۲۲	۱۲	۱.۰۷	۲.۰۷	-۰.۵۷	۱.۰۷	۱	۱۶
Cu	۱۹	۱۳	۸	۳۱	-۰.۴۲	-۰.۵۴	-۰.۵۸	-۰.۴۶	-۱۱	-۶
Ni	۴۰	۳۸	۴۰	۷	۱	-۰.۸۷	-۰.۰۰۰	-۰.۱۳	-	-۵
Cr	۱۰	۲۲	۷۶	۳۳	۷۶	۴.۰۱	۶۶	۳۰۱	۶۶	۶۸
V	۲۶۵	۳۱۹	۱۶۳	۹۰	-۰.۶۱	-۰.۶	-۰.۳۹	-۰.۴	-۱۰۲	-۱۲۷
Ce	۸۱	۵۵	۵۳	۱۹۲	-۰.۶۵	۱.۴	-۰.۳۵	-۰.۴	-۲۸	۲۲
La	۴۳	۲۷	۲۵	۷۷	-۰.۵۱	۱.۱۹	-۰.۴۲	-۰.۱۹	-۱۸	۵
W	۴	۳	۳	۲۲	-۰.۷۵	۱.۶۷	-۰.۲۵	-۰.۶۷	-۱	۲
Mo	۲	۷	۶	۵	۳	۱.۲۹	۲	-۰.۲۹	۴	۲
Zr	۱۲۱	۱۹۸	۳۷۶	۹	۳.۱۱	۱.۹۸	۲۱۱	-۰.۹۸	۲۰۵	۱۹۴
Y	۱۷	۵۲	۱۷	۳۹۲	۱	-۰.۴۸	-	-۰.۰۲	-	-۲۷
Rb	۱۹	۱۶	۱۵	۲۵	-۰.۷۹	۱.۰۷	-۰.۰۲۱	-۰.۰۷	-۴	۹
Co	۵	۲	۵	۲۵	۱	۱.۰	-	-۰.۰۰۰	-	۱
Pb	۸	۴۹	۱۷۴	۳	۲۱۷۵	۳.۰۹	۲۰۷۵	۲.۰۹	۱۶۶	۱۰۲
Zn	۵۴	۵۸	۹۹	۱۵۱	۱.۸۳	۱.۹۳	-۰.۸۳	-۰.۹۳	۴۵	۵۴
As	۲۶	۲۲	۱۳	۱۱۲	-۰.۳۶	-۰.۷۳	-۰.۶۴	-۰.۲۷	-۲۳	-۶
Th	۱	۱	۳	۱۶	۳	۶	۲	۰	۲	۰

جدول ۹ تهی شدگی و غنی شدگی عناصر در زون دگرسانی آلبیتی منطقه خوش بیلاق.

Component	altered Least		Most altered		Slop to		Gain/loss		Gain/loss in	
	CiO	Ab1	CiA	Ab2	Ab1	Ab2	Ab1	Ab2	Ab1	Ab2
Sample										
SiO ₂	۵۰.۴۱	۴۹.۹۹	۴۴.۵۸	۴۷.۶۳	-۰.۱۹	-۰.۹۵	-۰.۱۲	-۰.۰۵	-۰.۸۳	-۲۲۶
Al ₂ O ₃	۱۳.۷۸	۱۷.۷۱	۱۲.۰۷	۱۰.۸۰	-۰.۹۱	-۰.۶۱	-۰.۰۹	-۰.۲۹	-۱۲۱	-۶۸۶
Fe ₂ O ₃	۱۳.۱۶	۹.۵	۱۴.۵۱	۱۰.۶۷	۱.۱	۱.۶۰	-۰.۱	-۰.۶۰	۱۳۵	۶۱۷
CaO	۵.۷۶	۶.۸۵	۳.۲۳	۲.۱	-۰.۵۱	-۰.۳	-۰.۴۹	-۰.۷	-۳۳۳	-۴۷۵
Na ₂ O	۰.۰۳	۰.۷۱	۸.۱۷	۹.۴۲	۱.۶۲	۱.۶۰	-۰.۶۲	-۰.۶۰	۳.۱۴	۷
K ₂ O	-۰.۱	-۰.۱	-۰.۲۴	-۰.۳	۲۴	۳۰	۲۳	۲۹	-۰.۲۳	-۰.۲۹
MgO	۰.۳۸	۳.۸۷	۶.۳۲	۵.۸۸	۱.۱۷	۱.۰۲	-۰.۱۷	-۰.۵۲	-۰.۹۴	۲۰۱
TiO ₂	۱.۹۳	۱.۹۳۴	۲۲۶۱	۱.۱۸۰	۱.۱۷	-۰.۶۱	-۰.۱۷	-۰.۲۹	-۰.۲۳۱	-۰.۰۶
MnO	-۰.۱۸۸	-۰.۱۲	-۰.۱۰۵	-۰.۱۸	۲.۲۱	۱.۰	۱.۲۱	-۰.۵	-۰.۰۳۳	-۰.۰۶
P ₂ O ₅	-۰.۲۰۸	-۰.۳۲۸	-۰.۰۲۷	-۰.۰۴۲	-۰.۶	-۰.۱۳	-۰.۴	-۰.۸۷	-۰.۱۸۱	-۰.۲۸۶
SO _۳	-۰.۰۰۶	-۰.۰۰۹	-۰.۰۶۹	-۰.۰۴۸	-۰.۸	۰.۰۳۳	-۰.۲	۴.۳۳	-۰.۶۳	-۰.۳۹
L.O.I	۲.۷۴	۳.۴۸	۷.۳۴	۸.۳۳	۲.۶۸	۱.۸۲	۱.۶۸	-۰.۸۲	۴۶	۲.۸۵
Cl	۲.۰۹	۱.۸۴	۲.۲۴	۲.۸۴	۱.۱۶	۱.۰۴	-۰.۱۶	-۰.۵۴	۳۴	۱.۰۰
Ba	۱.۰	۹۰	۱۰۰	۲۶۰	۱.۰۰	۲۷۳	-۰.۰۰	۱.۷۳	۰۰	۱۶۰
Sr	۰.۵۹	۱۵۶	۱۶۷	۲۲۵	۲.۸۲	۱.۴۴	۱.۸۲	-۰.۴۴	۱.۰	۶۹
Nb	۷	۴	۲۱	۱۴	۳	۳۵	۲	۲۵	۱۴	۱
Ga	۱۶	۱۹	۶	۰	-۰.۳۷	-۰.۲۶	-۰.۳	-۰.۷۴	-۱۰	-۱۴
Cu	۰.۵۱	۲۶	۲۲۴	۱۹۸	۴.۰۹	۷.۶۱	۳.۰۹	۶.۶۱	۱۸۳	۱۷۲
Ni	۶.۹	۶.۹	۷.۷	۴.۱	۱.۱۲	-۰.۶	-۰.۱۲	-۰.۴	۱	-۲.۸
Cr	۸۱	۴۰	۴۶	۸۸	-۰.۵۷	۲۲	-۰.۴۳	۱۲	-۳۵	۴۸
V	۲۸۸	۲۹۱	۳۴۷	۴۲۵	۱.۲	۱.۴۵	-۰.۲	-۰.۴۵	۰.۹	۱۳۴
Ce	۲۸	۳۷	۳۵	۶۶	۱.۲۵	۱.۸	-۰.۲۵	-۰.۸	۷	۲۹
La	۱۲	۱۹	۱۷	۱۴	۱.۴۲	-۰.۷۳	-۰.۷۳	-۰.۲۷	۰	-۰
W	۲	۲	۱	۱	-۰.۳۳	-۰.۵	-۰.۶۷	-۰.۰۵	-۲	-۱
Mo	۲	۶	۱	۱	-۰.۵	-۰.۱۷	-۰.۰۵	-۰.۸۳	-۱	-۵
Zr	۱.۰۴	۱۲۶	۱۴۸	۱۹۰	۱.۴۲	۱.۴	-۰.۴۲	-۰.۴	۴۴	۵۴
Y	۱۶	۲۲	۲۷	۲۲	۱.۷	۱	-۰.۷	-	۹	-
Rb	۱۲	۱۵	۱۸	۲۳	۱.۰	۱.۶۴	-۰.۵	-۰.۶۴	۶	۹
Co	۴	۱	۳	۳	-۰.۷۰	۳	-۰.۲۰	۲	-۱	۲۳
Pb	۱۳	۳	۹	۲۶	-۰.۶۹	۸.۶۷	-۰.۳۱	۷.۶۷	-۴	۲۳
Zn	۱۲۵	۸۹	۱۰۶	۱۰۶	۱.۱۶	۱.۱۶	-۰.۱۶	-۰.۱۶	۲۳	۲۷
As	۲۶	۲۴	۱۱	۱۷	-۰.۴۲	-۰.۷	-۰.۰۸	-۰.۰۳	-۱۰	-۷
Th	۸	۳	۷	۶	-۰.۸۸	۲	-۰.۱۲	۱	-۱	۳

جدول ۱۰ تهی شدگی و غنی شدگی عناصر زون دگرسانی کلریتی منطقه خوش بیلاق.

Component	altered Least		Most altered		Slop to		Gain/loss		Gain/loss in	
	CiO	Chl1	CiA	Chl2	Chl1	Chl2	Chl1	Chl2	Chl1	Chl2
Sample										
SiO ₂	۴۸۴۸	۵۵۴	۳۹۲۹	۲۶۱۲	۰.۸	۰.۸۰	-۰.۲	-۰.۲۵	-۹.۳۹	-۱۹.۲۸
Al ₂ O ₃	۱۴۷۵	۱۲۸۸	۱۰۸۰	۹۱۰	۰.۶۱	۰.۷	-۰.۳۹	-۰.۳	-۰.۸	-۲۷۳
Fe ₂ O ₃	۱۲۰.۸	۱۰.۱۹	۱۶۰.۲	۱۷۶۶	۱۳۲	۱۷۳	۰.۳۲	۰.۷۳	۳.۹۴	۷۴۷
CaO	۳۷۷	۸۳	۱۰۰.۵	۹۸۸	۲۶۷	۱۲	۱.۶۷	۰.۲	۶۲۸	۱۵۸
Na ₂ O	۰۵۳	۲۳۵	۰.۱۵	۰.۲	۰.۰۳	۰.۰۶	-۰.۹۷	-۰.۹۴	-۰.۱۶	-۲۱۵
K ₂ O	۰.۰۱	۱.۷	۰.۰۶	۰.۱	۶	۰.۰۹	۰	-۰.۹۱	۰.۰۵	-۰.۹۷
MgO	۷۷۶	۴۶۵	۹.۹۳	۱۱.۰۸	۱۲۸	۲۳۹	۰.۲۱	۱.۳۹	۲۱۷	۶۴۳
TiO ₂	۲۹۸۲	۲۰۰.۴	۰.۸۱۳	۰.۱۱	۰.۲۸	۰.۰۵	-۰.۲۲	-۰.۹۵	-۲۱۶۹	-۱۸۹۴
MnO	۰.۱۹۴	۰.۲۵۷	۰.۱۵	۰.۱۸۷	۰.۷۸	۰.۷۳	-۰.۲۲	-۰.۲۷	-۰.۰۴۴	-۰.۰۷
P ₂ O ₅	۰.۴۳۵	۰.۲۸۱	۰.۰۸۳	۰.۰۵۶	۰.۲	۰.۲	-۰.۱	-۰.۸	-۰.۳۲۵	-۰.۲۳۵
SO ₃	۰.۰۰۳	۰.۰۰۲	۰.۰۰۶	۰.۰۰۴	۲۴	۲	۱۴	۱	۰.۰۰۳	۰.۰۰۲
L.O.I	۳۸۸	۱۳۸	۱۴۵۳	۱۳۸۹	۳۷۵	۱۰۰.۴	۲۷۵	۹.۰۴	۱۰۶۵	۱۲۵۱
Cl	۱۷۳	۲۰۴	۸۹	۹۹	۰.۵۱	۰.۴۹	-۰.۴۹	-۰.۵۱	-۰.۱۴	-۰.۰۵
Ba	۱۶۸	۱۴۶	۹۰	۶۳	۰.۵۴	۰.۴۳	-۰.۴۶	-۰.۵۷	-۰.۷۸	-۰.۳
Sr	۴۴	۱۷۷	۱۳	۲۵	-۰.۳	۰.۲۹	-۰.۷	-۰.۹۱	-۰.۳۱	-۲۵۲
Nb	۳	۹	۱۹	۱۴	۶۳۳	۱۵۶	۵۳۳	۰.۵۶	۱۶	۴۱
Ga	۲۲	۱۶	۴	۶	۰.۱۸	۰.۳۷	-۰.۸۲	-۰.۸۳	-۰.۱۸	-۱۰
Cu	۷	۳	۲۳	۴۴	۳۲۹	۱۴۶۷	۲۲۹	۱۱۸۷	۱۶	۴۱
Ni	۷۹	۷۷	۶۹	۸۶	۰.۸۷	۱.۱۲	-۰.۱۳	۰.۱۲	-۰.۷۰	۹
Cr	۷۱	۱۲۰	۲۱	۳۵	-۰.۳	۰.۲۹	-۰.۷	-۰.۷۱	-۰.۰	-۸۵
V	۴۰۲	۳۰۶	۱۸۸	۲۰۵	۰.۴۱	۰.۶۷	-۰.۰۹	۰.۳۳	-۲۶۴	-۱۰۱
Ce	۳۳	۳۲	۷	۱۲	۰.۲۱	۰.۳۷	-۰.۷۹	-۰.۸۳	-۰.۲۶	-۰۲
La	۱۲	۱۷	۳	۹	۰.۲۵	۰.۵۳	-۰.۷۵	-۰.۴۷	-۰.۹	-۱
W	۲	۴	۱	۱	۰.۰۵	۰.۲۵	-۰.۵	-۰.۷۵	-۱	-۳
Mo	۴	۷	۱	۱	۰.۲۵	۰.۱۴	-۰.۷۵	-۰.۸۶	-۰.۳	-۶
Zr	۱۰۹	۱۴۱	۶۳	۹۲	۰.۴	۰.۶۵	-۰.۶	-۰.۳۵	-۹۶	-۴۹
Y	۲۹	۲۱	۱۴	۲۲	۰.۴۸	۱.۰۵	-۰.۰۲	۰.۰۵	-۱۰	۱
Rb	۱۴	۲۸	۱۵	۲۶	۱.۱	۰.۹۳	-۰.۱	-۰.۰۷	۱	-۲
Co	۲	۴	۱	۱	۰.۰۵	۰.۲۵	-۰.۵	-۰.۷۵	-۱	-۳
Pb	۱۲۵	۹	۱۸	۱۳	۰.۱۳	۱.۴۴	-۰.۸۷	۰.۴۴	-۱۱۷	۴
Zn	۲۰	۱۴۹	۱۲۰	۱۶۹	۰.۶۵	۱.۱۳	-۰.۳۵	۰.۱۳	-۰.۷۰	۲۰
As	۲۹	۲۵	۱۷	۲۲	۰.۰۹	۰.۸۸	-۰.۰۱	-۰.۱۲	-۱۲	-۳
Th	۷	۲	۰	۴	۰.۷۱	۲	-۰.۲۹	۱	-۰.۲	۲

جدول ۱۱ تهی شدگی و غنی شدگی عناصر در زون دگرسانی هماتیتی منطقه خوش بیلاق.

Component	altered Least		Most altered		Slop to		Gain/loss		Gain/loss in	
	CiO	Hem1	CiA	Hem2	Hem1	Hem2	Hem1	Hem2	Hem1	Hem2
Sample										
SiO ₂	۶۰۲۴	۵۱۴۶	۴۶۰۷	۴۰.۲۳	۰.۷۱	۰.۷۹	-۰.۲۱	-۱۸۶۷	-۱۱۲۳	
Al ₂ O ₃	۱۲۲۹	۱۲۲۸	۱۳۹۷	۱۷۹۵	۱.۱۴	۱.۳۴	-۰.۳۴	۱۶۸	۴۵۹	
Fe ₂ O ₃	۸۲۴	۱۳۷۷	۱۶۸۷	۲۱۹۸	۲۰.۵	۱.۶	۰.۵	۸۲۳	۸۲۱	
CaO	-۰.۸۸	۲۲۳	۴۲۳	۱۸۰	۴۸	-۰.۸	۰.۲۸	-۰.۲	۲۳۵	-۰.۴۵
Na ₂ O	-۰.۷	۴۵	-۰.۳	-۰.۲	-۰.۴	-۰.۰۴	-۰.۹۶	-۱	-۰.۶۷	-۴۴۸
K ₂ O	۹۵۱	۰.۲۴	۰.۱۷	۰.۳	۰.۴۶	۲۲۰.۸	-۰.۴۶	۲۱.۰.۸	-۴۴۳	۰.۵۰
MgO	-۰.۸۱	۶۹	۲۸۸	۱۵۸	۳۳	-۰.۲۳	۰.۲۳	-۰.۷۷	۱۸۷	-۰.۵۲
TiO ₂	-۰.۷۶۴	۲۱۳۱	۱۵۴۸	۴۵۲۹	۰.۵۹	۲۱۲	-۰.۵۹	۱.۱۲	۰.۵۷۴	۲۳۹۸
MnO	-۰.۴۹	۰.۶۸	۰.۲۰۲	-۰.۱۰۷	۴۱۲	۱۵۷	۳.۱۲	-۰.۵۷	-۰.۱۵۳	-۰.۰۳۹
P ₂ O ₅	-۰.۰۱	-۰.۷۲۶	-۰.۰۴۱	-۰.۰۷	۴۱	-۰.۰۱	۴۰	-۰.۹	-۰.۴	-۰.۶۰۶
SO ₃	-۰.۰۰۴	-۰.۰۰۳	-۰.۰۰۷	-۰.۰۰۲	-۰.۷۰	-۰.۸	-۰.۲۵	-۰.۲	-۰.۰۱	-۰.۰۰۱
L.O.I	-۰.۱۹	۴.۰۶	۷.۸	۶.۱	۸.۸	۱.۰۴	۷.۸	۹.۰۴	۶.۹۱	۲.۰۴
Cl	۲۱۲	۱۴۱	۶۵	۷۵	-۰.۳۱	-۰.۵۳	-۰.۸۹	-۰.۴۷	-۱۴۷	-۶۶
Ba	۳۸۴	۱۳۸	۱۴۰	۳۳۷	-۰.۳۶	۲۴۴	-۰.۸۶	۱۴۴	-۲۲۴	۱۹۹
Sr	۴۷	۴۰	۸۷	۳۷	۱۸۵	-۰.۹۲	-۰.۸۰	-۰.۰۱	۴۰	-۳
Nb	۶	۸	۱۶	۱۸	۱۶	۲۲۰	۱۰	۱۲۰	۱۰	۱۰
Ga	۱۳	۱۶	۷	۷	-۰.۴۳	-۰.۴۴	-۰.۵۶	-۰.۵۶	-۰.۴	-۹
Cu	۷	۹۶	۵	۶	-۰.۷۱	-۰.۰۶	-۰.۲۹	-۰.۹۴	-۰.۲	-۹۰
Ni	۰۶	۶۹	۰۴	۶۷	-۰.۹۶	-۰.۹۷	-۰.۰۴	-۰.۰۳	-۰.۲	۶
Cr	۲۳	۴۸	۰۳	۲۵	-۰.۲۳	۱.۳	-۰.۴۸	۳۰	-۲۳	
V	۱۰۴	۳۲۰	۱۷۶	۳۹۰	۱.۷	۱۴۷	-۰.۷	-۰.۴۷	۷۲	۱۵۲
Ce	۳۹	۱۲	۷۵	۳۲	۱.۹۷	۲۷۵	-۰.۹۲	۱.۷۵	۳۶	۲۱
La	۱۸	۶	۳۴	۱۴	۱.۹	۲۲۳	-۰.۹	۱.۳۳	۱۶	۱
W	۲	۶	۱	۱	-۰.۲۲	-۰.۱۷	-۰.۶۷	-۰.۸۳	-۰.۲	-۵
Mo	۰۵	۳	۱	۱	-۰.۲	-۰.۳۳	-۰.۸	-۰.۸۷	-۰.۴	-۲
Zr	۱۰۱	۱۱۸	۱۴۱	۱۷۶	-۰.۷۳	۱۶	-۰.۰۷	۰.۸	-۱۰	۷۱
Y	۲۸	۲۵	۳۹	۳۰	-۰.۰۴	۱۶۴	۱.۰۴	۰.۶۴	۳۹	۱۶
Rb	۸۴	۱۳	۱۲۹	۸۰	۱.۹	۶۰۵۳	-۰.۹	۰.۵۵۳	۶۱	۷۲
Co	۲	۳	۲	۲	۱	-۰.۳۳	-۰.۰۰۰	-۰.۶۷	-۰.۰۰۰	-۰.۰۰۰
Pb	۱۰	۶	۴۹	۱۶	-۰.۹	۲۶۷	۳.۹	۱.۶۷	۳۹	-۲
Zn	۳۳	۷۴	۳۹	۸۰	۱۲	۱.۰۹	-۰.۲	۰.۰۹	۶	۱۰
As	۰۲	۳۵	۱۳	۵۳	-۰.۲۰	۱۰۱	-۰.۷۰	۰.۰۱	-۳۹	۱۸
Th	۷	۳	۱	۱	۱.۱۴	-۰.۷۱	-۰.۰۳۳	۱	-۰.۳۳	-۱

است، مشاهده کرد. میزان عناصر فرار در زون‌های مختلف دگرسانی بالا می‌باشد. به طور کلی، بازالت‌ها تقریباً دارای LOI بین ۱/۵٪-۱٪ باشند، اما مقادیر بالای LOI در این نمونه‌ها به دلیل حضور فازهای حاوی OH مانند (کلریت هیاکلاسیت‌ها و اپیدوت) و نیز پیریت است که خود معرف فرآیند آبگیری در اثر دگرسانی و نیز تاثیر مهم عناصر فرار در رخداد دگرسانی است. در منطقه کلریتی شاهد تهی شدگی Cr هستیم با توجه به اینکه Fe و Mg جانشین Cr در شبکه کلینوپیروکسن و اسپینل می‌شوند می‌توان نتیجه گرفت که Cr موجود در کلینوپیروکسن و اسپینل طی دگرسانی از سنگ خارج شده‌اند که این سبب تهی شدگی Cr می‌شود.

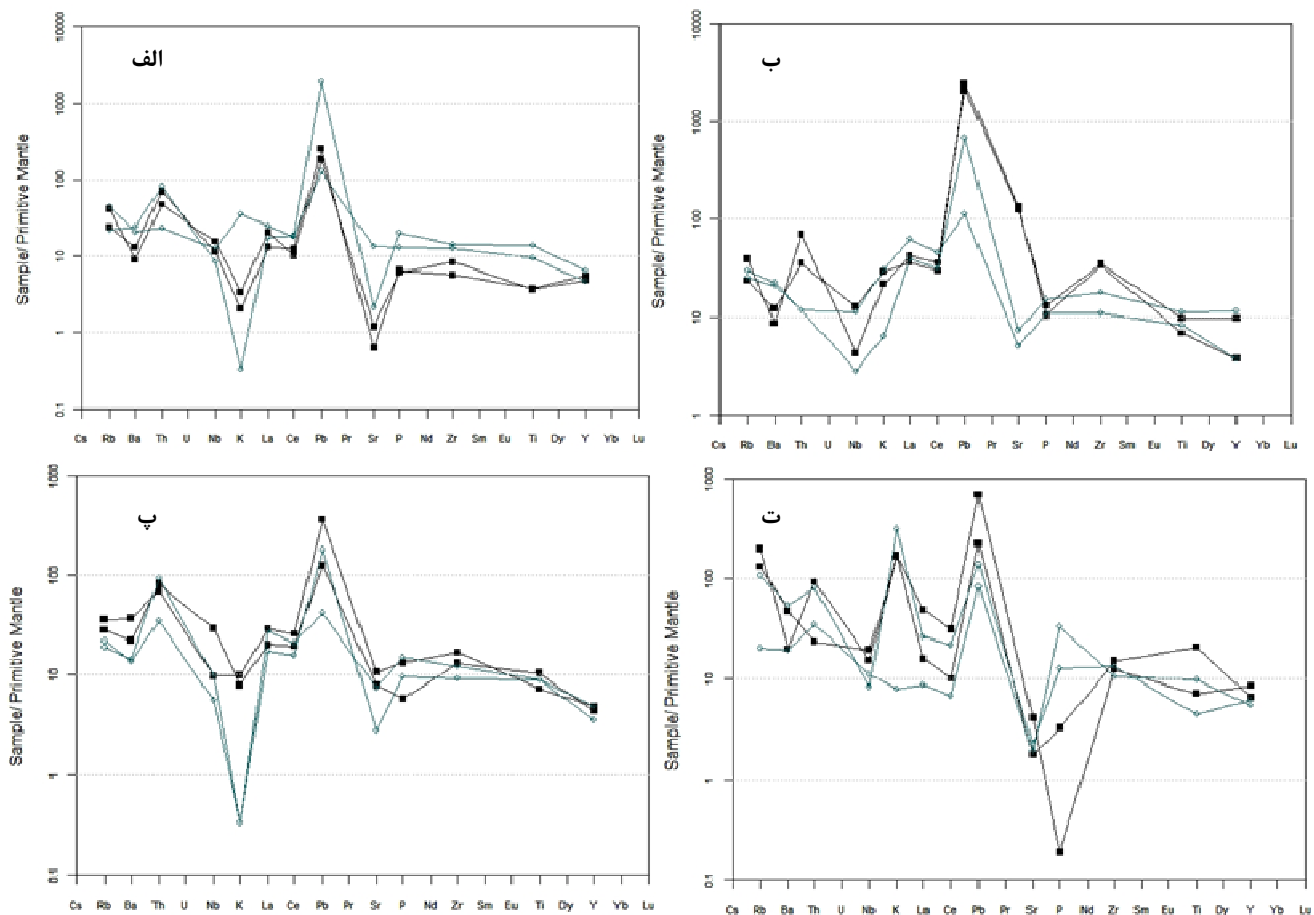
به طور کلی، عناصر نامتحرك مانند Nb، P، Y، Ti، Ce و Cs در فرآیندهای دگرگونی، دگرسانی و دگرنهادی شرکت نکرده و بیشتر ویژگی اولیه سنگ را بازگو می‌کنند، این امر به دلیل تحرك پائین این عناصر طی دگرسانی است. این در حالیست که عناصر متحرک و محلول در آب نظیر Pb، Rb، Ba، K، Sr، Cs تحت تاثیر فرآیندهای پس از ماقماتیسم نظیر دگرسانی گرمابی و دگرگونی تغییرات چشمگیری را دارند. به دلیل اینکه غلظت این عناصر به وسیله‌ی کانی‌هایی چون پلازیوکلاز، بیوپیت و فلدسپارهای قلیایی کنترل می‌شود، لذا دگرسانی‌های وابسته به این کانی‌ها سبب تغییر در غلظت آن‌ها می‌شود. این در حالیست که برخی از نمونه‌های دگرسان شده منطقه رفتاری متحرک از خود نشان می‌دهند. علت متحرک بودن این عناصر را می‌توان به دلیل وجود CO₂ در گرمابی‌های دگرسان کننده منطقه دانست [۱۲] که شواهد آن را می‌توان با حضور کانی‌های اپیدوت، کلریت و پرهینیت موجود در منطقه نشان داد.

در واحدهای آندزیتی منطقه شاهد دگرسانی اپیدوتی و نیز سوسوریتی شدن محسوس در پلازیوکلاز هستیم، تهی شدگی Cu مس در سنگ‌های دگرسان شده نسبت به سنگ اولیه دیده می‌شود و با توجه به اینکه آثار کانی زائی مس به صورت پراکنده در برخی از نقاط منطقه دیده می‌شود، می‌توان چنین استنباط کرد که Cu شسته شده از سنگ به وسیله‌ی محلول حمل شده و کانی مس در شرایط مناسب در جای دیگر از محلول رسوب کرده است. اما در برخی از نمونه‌ها با وجود دگرسانی کم شاهد مقادیر نسبتاً بالای Cu هستیم، که این امر بیانگر این است که تغییرات تمرکز مس تنها منحصر به دگرسانی نیست بلکه ممکن است ناشی از جدایش فاز

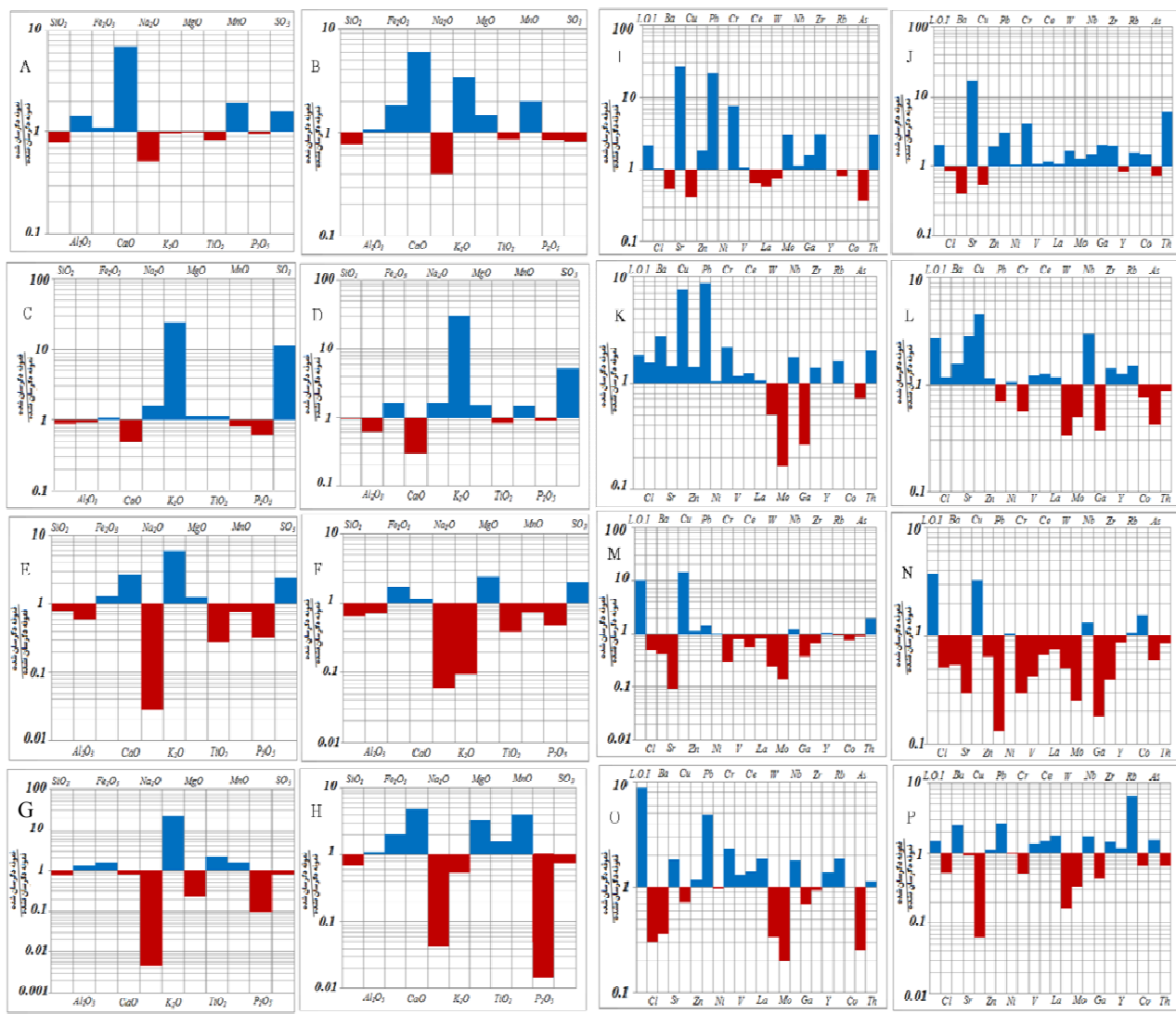
از سوی دیگر، نفوذ شاره‌های غنی از Fe در سنگ‌های میزبان منطقه نیز سبب رخداد دگرسانی‌های آن‌ها (مانند زون کلریتی) و افزایش Fe₂O₃ در نمونه‌های دگرسان شده نسبت به سنگ اولیه می‌شود. Mg و Fe از لحاظ بار و شعاع یونی به Ni و Co شبیه‌اند. Ni در ساختار کانی‌های مافیک مانند الیوین حضور دارد و نیز بخش بزرگ Co در سنگ میزبان در ساختار کانی‌های Mg دار مانند الیوین و پیروکسن است. دگرسانی کلریتی منطقه سبب خروج Co و Ni از ساختار این کانی‌ها و جانشینی آن‌ها به وسیله‌ی Fe و Mg شده است، لذا در زون-های کلریتی و آلبیتی شاهد تهی شدگی Ni و Co و نیز غنی-شدگی عناصر جانشین شده آن‌ها (Mg و Fe) هستیم. P₂O₅ تهی شدگی محسوسی را در اغلب زون‌های دگرسان از خود نشان می‌دهند. پائین بودن مقدار P₂O₅ در سنگ‌های دگرسان شده نسبت به سنگ اولیه به دلیل پائین بودن مقدار مواد فرار در گرمابه‌است. میزان Na₂O در زون آلبیتی به مقدار زیادی افزایش ولی در زون‌های اپیدوتی، کلریتی و نیز هماتیتی به-شدت کاهش یافته است که این نمایانگر اسیدی شدن بلورهای پلازیوکلاز و آلبیتی شدن آن‌هاست که به طور کلی این فرآیند همراه با افزایش غلظت Cl⁻ همراه است. این تغییرات ترکیب بلورهای پلازیوکلاز از کلسیک به سدیک نیز با کاهش مقدار نمونه‌ها در زون آلبیتی به خوبی قابل مشاهده می‌باشند. CaO در طی دگرسانی کلریتی و اپیدوتی افزایش یافته است، این امر به دلیل تجزیه پلازیوکلازها و تشکیل کانی‌های ثانویه کلسیم دار از قبیل اپیدوت و پرهینیت است که نشانگر تحرك بالای Ca در شرایط دگرسانی اپیدوتی است. مقدار K₂O در سنگ‌های اپیدوتی و کلریتی منطقه نسبت به نمونه‌های کمتر دگرسان شده تعییرات مشخصی از خود نشان نمی‌دهند این در حالیست که در نمونه‌های آلبیتی و بهویشه هماتیتی، تغییرات قابل ملاحظه‌ای را نسبت به نمونه‌های کمتر دگرسان شده از خود نشان می‌دهند. به طور کلی مقادیر SO₃ تعییرات چندان مشخصی را در تمامی نمونه‌های زون‌های دگرسان شده از خود نشان نمی‌دهد که این بیانگر عدم سرشت سولفاتی گرمابی‌های دگرسان کننده است. شواهد این عدم سولفاتی بودن شاره‌های دگرسان‌ساز را می‌توان در عدم حضور کانی‌های اسیدی و اکسایشی مانند کائولینیت و آلونیت که ناشی از بالا بودن یون سولفات و نشانگر ماهیت سولفاتی بودن دگرسان‌های منطقه

پلازیوکلازها، پرهینینتی شدن بلورهای پلازیوکلاز و نیز تشکیل کلسیت و اپیدوت سبب حذف Ca^{2+} از ساختار پلازیوکلاز می‌شود، که می‌توانند سبب بیهنجاری منفی Sr در نمودارهای عنکبوتی شود (شکل ۱۱). Ba تهی شدگی قابل توجهی را در زون‌های دگرسان کلریتی و اپیدوتی و نیز غنی شدگی مشخصی را در زون آلبیتی از خود نشان می‌دهد. با توجه به جانشینی Ba به جای K به ویژه در فلدسپات‌ها، می‌توان چنین استنباط کرد که دگرسانی روی فلدسپات‌های سنگ‌های کلریتی و اپیدوتی شده منطقه، سبب کاهش غلظت و نیز تهی شدگی این عنصرشده است. Ce در زون کلریتی به مقدار ناچیز تهی شدگی از خود نشان می‌دهد، احتمالاً به دلیل شسته شدن Ce به صورت Ce^{3+} از محیط است و که باعث بیهنجاری منفی آن در نمودار عنکبوتی شده است (شکل ۱۲).

سولفیدی در ماقما باشد. Pb که یک عنصر متحرک است، غنی شدگی قابل توجهی را در زون‌های اپیدوتی و هماتیتی از خود نشان می‌دهد، این غنی شدگی غیر معمول ممکن است در اثر فرآیند دگرنهادی در طی دگرسانی گرماب و یا ناشی از آلایش پوسته باشد، ولی با توجه به اینکه هیچ شواهدی از آلایش پوسته دیده نمی‌شود، لذا نقش دگرنهادی در این غنی شدگی محتمل تر به نظر می‌رسد. بهطور کلی Sr دامنه تغییرات تمرکز گسترده‌ای را بین نمونه‌های منطقه به خود اختصاص می‌دهد، بهطوری که بیشترین تمرکز این عنصر متحرک با 2883 ppm در زون Sr به ویژه در زون اپیدوتی به دلیل مشاهده می‌شود. افزایش Sr به ویژه در زون اپیدوتی به Ca^{2+} تجزیه کانی پلازیوکلاز و تشکیل کانی‌های جدید حاوی Ca^{2+} (مانند اپیدوت و پرهینینت) است. از آنجا که Sr جانشین Ca^{2+} در ساختار پلازیوکلاز می‌شود، آلبیتی شدن، سوسوریتی شدن



شکل ۱۱ نمودار ب亨جار شده نسبت به گوشه‌های اولیه نمونه‌های دگرسان شده و کمتر دگرسان شده منطقه مورد بررسی. (الف) زون اپیدوتی (ب) زون کلریتی (پ) زون آلبیتی. (ت) زون هماتیتی. ■ نمونه‌های دگرسان شده. ▲ نمونه‌های کمتر دگرسان شده.



شکل ۱۲ نمودارهای تپی شدگی و غنی شدگی عناصر اصلی در دگرسانی اپیدوتی (A,B)، دگرسانی آلبیتی (C,D)، دگرسانی کلریتی (E,F)، دگرسانی هماتیتی (G,H)، دگرسانی اپیدوتی (I,J)، دگرسانی آلبیتی (K,L)، دگرسانی کلریتی (M,N) و دگرسانی هماتیتی (O,P).

هماتیتی ۵۹,۷٪ تا ۷۱,۴۵٪ دستخوش دگرسانی شده‌اند که در شکل زیر نشان داده شدند (شکل ۱۳).

دماسنجه‌ی دگرسانی

به طور کلی سه فرآیند که در سیستم‌های گرمایی مختلف رخ می‌دهد تاکنون تشخیص داده شده‌اند: ۱- دگرسانی در دمای پائین تحت شرایط اکسایشی (دمای کمتر از ۷۰ درجه‌ی سانتی گراد) ۲- دگرسانی در دمای بالاتر، با کانی‌های وابسته به رخساره‌ی زیر سبز شیست ۳- دگرسانی در دما بالا در شرایط اکسیژن پائین (دمای بیشتر از ۲۵۰ درجه‌ی سانتی گراد تا حدود ۴۰۰ سانتی گراد [۱۵].

دگرسانی در دما پائین شامل پالاگونیتی شدن است که به صورت گسترده و فراگیر در منطقه رخ می‌دهد (نسبت شاره به

شاخص شیمیایی دگرسانی (CIA) در زون‌های دگرسانی به منظور ارزیابی شدت دگرسانی گرمایی در زون‌های مختلف دگرسانی، از شاخص شیمیایی دگرسانی (CIA) که تابعی از مقادیر اکسیدهای Al_2O_3 , CaO , Na_2O و K_2O است استفاده می‌شود [۱۴, ۱۳] محاسبه‌ی این شاخص بر اساس فرمول زیر است:

$$\text{CIA} = \frac{\text{Al}_2\text{O}_3}{\text{Al}_2\text{O}_3 + \text{CaO} + \text{Na}_2\text{O} + \text{K}_2\text{O}}$$

نتایج به دست آمده از محاسبات شاخص شیمیایی دگرسانی (CIA) در انواع مختلف زون‌های دگرسانی منطقه نشان می‌دهد که زون دگرسانی اپیدوتی در گستره‌ی ۴۶٪ تا ۴۶,۲۶٪، زون دگرسانی آلبیتی ۴۷,۸۶٪ تا ۴۷,۴۹٪، زون دگرسانی کلریتی ۴۶,۵٪ تا ۴۷,۳۳٪ و در زون دگرسانی

داشت‌ها

دگرسانی پروپلیتی مهم‌ترین و روشن‌ترین نوع دگرسانی حاکم بر منطقه است، نوع کانی‌های این زون با در نظر گرفتن دما، ترکیب کانی‌شناسی سنگ اولیه و ترکیب و بر اساس بررسی-های صحرایی، بررسی‌های میکروسکوپی و نیز نتایج حاصل از پراش پرتو X محلول شامل کلریت، آپیدوت، آلبیت، هماتیت، پرهینیت و پامپلی ایت بوده‌اند. این در حالیست که سیلیسی شدن و کربناتیتی شدن به صورت پراکنده سنگ‌های منطقه را تحت تاثیر قرار داده‌اند.

دگرسانی‌های حاکم بر منطقه بر نتایج حاصل از بررسی‌های کانی‌شناسی و نیز با توجه به حضور گدازه‌های بالشی موجود در منطقه، احتمالاً در دو مرحله صورت پذیرفته است. مرحله‌ی اول که باعث تشکیل کلریتی شدن، آلبیتی شدن و اپیدوتی شدن سنگ‌های میزان در شرایط زیر دریابی است، و مرحله‌ی دوم در شرایط اکسایش در خارج از آب رخ داده است.

بررسی خطهای هم غلظت نشانده‌ندی متحرک شدن برخی از عناصر نامتحرک طی دگرسانی است، به‌طوری که در زون دگرسانی آلبیتی با میانگین شیب خط هم غلظت ۱,۰۶ و ۱,۰۹ بیشترین و در زون دگرسانی کلریتی با میانگین شیب ۱,۰۳ کمترین تغییرات جرم را طی دگرسانی شاهد خواهیم یود.

بررسی تغییرات اکسیدهای اصلی در نمونه‌های دگرسان-شده نسبت به نمونه‌هایی با کمترین دگرسانی در منطقه نشان می‌دهد که در تمامی زون‌های دگرسانی شاهد تهی شدنی در SiO_2 و P_2O_5 غنی شدنی در L.O.I و Fe_2O_3 هستیم. با توجه به درصد پیستاسیت محاسبه شده برای کانی‌های اپیدوت موجود در منطقه، این کانی‌ها خاستگاه ماقمایی داشته و ناشی از سوسوریتی شدن پلازیوکلاز و تحت فشار متوسط تا زیاد ۸۶ تا ۱ کیلوبار، تشکیل شده‌اند.

بر اساس بررسی‌های ترمومتری روی کانی کلریت، دگرسانی سنگ‌های منطقه در گسترده‌ی دمایی ۱۸۰ تا ۲۵۰ درجه‌ی سانته، گرادصوت بدزیرفته است.

مراجعة

- [1] Bolgolepov V.G., "The recomputation of the chemical analyses of rocks in studying metasomatic process", Intern. Geol. Rev., Vol 5, (1963) 1585- 1592.

سنگ بالاست) و اساساً در هوازدگی‌های زیردریایی دیده می‌شود. این دگرسانی با مجموعه کانی‌های رخساره‌ی زئولیت مشخص می‌شود و تقریباً شرایط P-T مشخصی دارند. دگرسانی در دمای بالا شامل واکنش‌های اسپیلیتی شدن و نیز دگرنزهادی گرمایی با گستردگی کم است (نسبت آب به سنگ پائین است) که به علت واکنش‌های همرفتی آب دریا گرم شده است.

کلوب

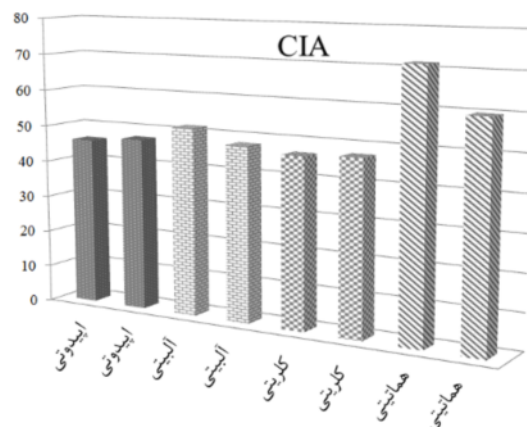
تاکنون روش‌های مختلفی برای تعیین شرایط ساختاری کلریت و نیز ژنز این کانی ارائه شده است. زمین- دماستنجی محلول- جامد کلریت نخستین بار بر اساس ارتباط بین ترکیب کلریت و دما در سیستم زمین گرمابی پیشنهاد شد [۱۶] در این مشاهدات تجربی آن‌ها بر این معتقد بودند که عدد اتم‌های چاروچهی (AlIV) سازگاری قوی با دمای ته نشست دارد که آن را می‌توان به صورت یک رابطه‌ی خطی بیان کرد. بر این اساس و با استفاده از فرمول زیر می‌توان دمای کلریت را محاسبه کرد:

$$T(0C) = 213.3 AlIV + 17.5$$

$$T(0C) = AlIV + 8.26 \cdot 10^{-2} / 4.71 \cdot 10^{-3}$$

بر اساس آنالیزهای جدید کلریت و نیز محاسبات میکروترمومتری از شاره‌های درگیر بلورهای کوارتز وابسته به $T(0C) = -61.92 + 61.92 \text{ AIIV}$ کلریت، ارتباط بین دما و AIIV به شکل [۱۷] ایشده است.

بر این اساس، کلریت‌های منطقه‌ی گستره‌ی دمایی ۱۸۰-۲۵۰ درجه‌ی سانتی‌گراد را از خود نشان می‌دهند.



شکل ۱۳ تغییر میزان شاخص شیمیایی دگرسانی در زون‌های دگرساز منطقه.

constraintson depth of epidote-bearing magmas from northeastern Brazil", Lithos105 (2008) 225-238.

[10] Fery M., de Capitanic C., Liou J.G., "A new petrogenetic grid for low-grade meta basites", *J Metamorphi.Geo1 9(1991) 497-509.*

[۱۱] مظاہری ا.، همیت پیستاسیت در تشخیص نوع/پیدوخت، ششمین همایش بلورشناسی و کانی شناسی ایران، دانشگاه علم صنعت تهران، (۱۳۷۸).

[12] Hynes A., "Carbonitization and mobility of Ti, Y, and Zr in Ascot Formation metabasalts, S.E. Quebec. Contrib", *Mineral. Petrol, Vol. 75 (1980) 79- 87.*

[13] Nessbitt H. W., Young G. M., "Early proterozoic climate and plate motions inferred from major element chemistry of lutites", *nature, 299(1982) 715-717.*

[14] Fedo C. M., Nesbitt P., Young G.M., "Unraveling the effect of potassium metasomatism in sedimentary rocks and paleosols, with implications for paleoweathering conditions and provenance", *Geology 23 (1995) 363-381.*

[15] Thompson G., "Basalt seawater interaction.In:P.Rona et al (Editors).Hydrothermal processes at sea floor spreding centers.Plenum", New York (1983) 225-278.

[16] Cathelineau M., Nieva D., "A chlorite solid solution geothermometer, The Los Azufres (mexico) Geothermal system", Contribution to Mineralogy and Petrology 91 (1985) 235-244.

[17] Cathelineau M., "The Hydrothermal alkali metasomatism effect on granitic rocks: Quartz dissolution and related subsolidus changes", *Journal of Petrology 27(1986) 945-956.*

[2] Gresens R.L., "Composition -volume relationships of metasomatism", *Chem. Geol., Vol. 2, (1967) 47-65.*

[3] Grant J.A., "Isocon analysis: A brief review of the method and applications", *Phys. Chem. Earth, Vol. 30, (2005) 997-1004.*

[4] Grant J.A., "The isocon diagram; a simple solution to Gresens' equation for metasomatic alteration. *Econ.Geo1", Vol. 81 (1986) 1976-1982.*

[5] Ghavidel-Syooki M., Hassanzadeh J., Vecoli M., "Palynology and isotope geochronology of the upper Ordovician- Silurian successions(Gheli and Soltam Meidan Formation)in the Khoshyeilagh area,eastern Alborz Range,northern Iran;stratigraphic and paleogeographic implications", *Review of Paleobotany and Palynology(2011) 251-271.*

[۶] بابازاده ش.، مظاہری س.ا.، رقیمی م.، رحیمی چاکدل ع.، "بررسی تغییرات جرم ناشی از دگرسانی در سنگ‌های آتشفشاری دگرسان شده منطقه خوش بیلاق"، چهارمین همایش زمین شناسی اقتصادی ایران، دانشگاه بیرجند، (۱۳۹۱).

[7] Marcelot G., Maury R.C., Lefevre C., "Mineralgy of Erromango Lava New Hebride: Evidence of an early stage of fractionation in island arc basalts", *Lithos 16 (1983) 135-151.*

[8] Tulloch A. J., "Comment on "Implications of magmatic epidote - bearing plutons on crustal evolution in the accreted terranes of northwestern North America" and "Magmatic epidote and its petrologic significance". *Geology 14 (1986) 186-187.*

[9] Sial A. N., Vasconcelos P. M., Ferreira V. P., Pessoa R. R., Brasilino R. G., Morais neto J. M., "Geochronological and mineralogical